

Supplemental Materials to:

A p53-regulated apoptotic gene signature predicts treatment response and outcome in pediatric acute lymphoblastic leukemia

Russell O Bainer^{1*}, Matthew R Trendowski², Cheng Cheng³, Deqing Pei³, Wenjian Yang³, Steven W Paugh⁴, Kathleen H Goss⁵, Andrew D Skol⁶, Paul Pavlidis⁷, Ching-Hon Pui^{4,8}, T Conrad Gilliam¹, William E Evans^{4,9,14}, and Kenan Oneil^{10,11,12,13,14,15}

¹Department of Human Genetics, ²Committee on Cancer Biology, ⁵University of Chicago Medicine Comprehensive Cancer Center ⁶Department of Pediatrics, The University of Chicago, Chicago, IL 60637

³Department of Biostatistics, ⁴Hematological Malignancy Program, ⁸Department of Oncology, ⁹Department of Pharmaceutical Sciences, St Jude Children's Research Hospital, Memphis, TN 38105

⁷Department of Psychiatry, University of British Columbia, Vancouver, BC, Canada, V6T1Z4

¹⁰Division of Human Genetics and Genomics, and ¹¹Division of Hematology/Oncology and Stem Cell Transplantation, Cohen Children's Medical Center, New Hyde Park, NY 11040

¹²The Feinstein Institute for Medical Research, Manhasset, NY 11030

¹³Hofstra Northwell School of Medicine, Hempstead, NY 11549

¹⁴These authors contributed equally to this work

*Current address: Department of Bioinformatics, Genentech, Inc, South San Francisco, CA 94083

Table of Contents:

A. Supplemental Figures

Supplemental Figure 1 page 2

Supplemental Figure 2 page 3

B. Supplemental Tables

Supplemental Table 1 page 4

Supplemental Table 2 page 5

Supplemental Table 3 page 22

Supplemental Table 4 page 38

Supplemental Table 5 page 39

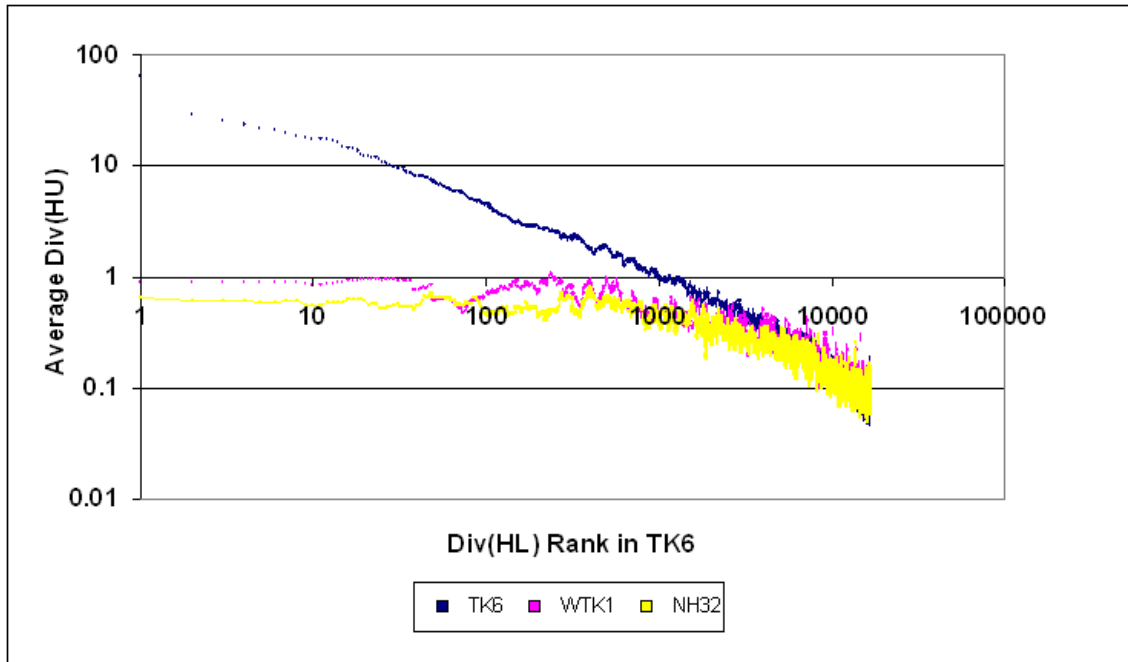
Supplemental Table 6 page 40

C. References

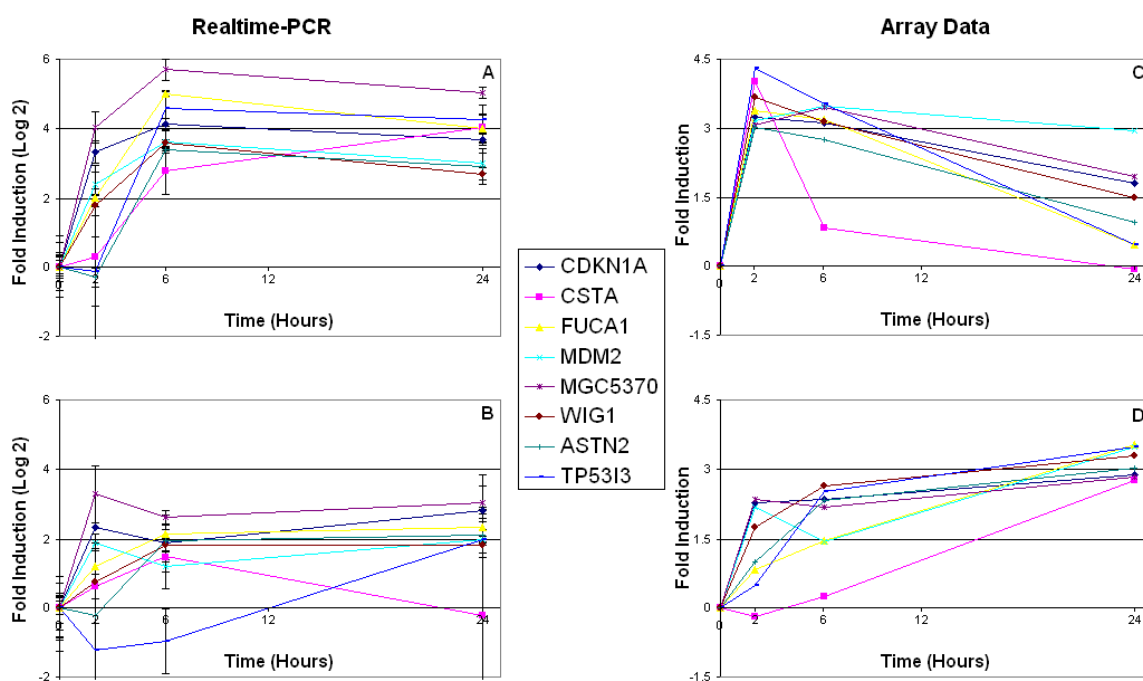
page 41

A. Supplemental Figures

Supplemental Figure 1. DIV(HU) of genes in TK6, WTK1, and NH32 lines ordered by DIV(HL)TK6 rank. Following normalization and scaling of expression microarray data, fold-induction or repression was determined for each gene relative to the mean of the untreated control within each cell line. DIV(HL)TK6 was calculated for each gene. Plotted are the DIV(HU) in 50-gene sliding windows for all genes in each cell line ordered by the DIV(HL)TK6. At a DIV(HU) of ≈ 0.85 , the DIV(HU)TK6 could no longer be reliably discriminated from the DIV(HU)WTK1 or the DIV(HU)NH32.



Supplemental Figure 2. Independent measurements of selected gene expression levels by RT-PCR and gene expression microarray. Gene expression levels measured by RT-PCR (panels A and B) were normalized to RAN and plotted relative to levels in untreated cells. Panels A (RT-PCR) and C (expression microarray) are expression levels following 10 Gy, and Panels B (RT-PCR) and D (expression microarray) are expression levels following 2 Gy. Both methods give qualitatively similar gene expression profiles, demonstrating that gene induction by 10 Gy was more rapid and transient than following 2 Gy, although the absolute values for the fold-induction of each mRNA differed between the two methodologies. These analyses were performed in triplicate with different RNA isolates than those hybridized to the microarrays and analyzed in the main text. Error bars indicate the standard error of the fold change estimate for each gene at each time point following IR exposure.



B. Supplemental Tables

Supplemental Table 1. List of primers used for RT-PCR analysis.

Gene	Primer Sequence
CDKN1A-F	5'-TTA GCA GCG GAA CAA GGA GTC A-3'
CDKN1A-R	5'-GCT CAA CGT TAG TGC CAG GAA A-3'
FUCA1-F	5'-CAG AGC TGT ACG ACC TTG TTA ACA G-3'
FUCA1-R	5'-CTA CCA CCT CAT CCT TGA CAG-3'
CSTA-F	5'-CAC CAT AGG CAG GCT GGA TC-3'
CSTA-R	5'-GTA TGA GGG TAG AGA TGG AAT GTT GG-3'
MGC5370-F	5'-GTA CAG CAA TCA TTT CAG ATG CAT TAT G-3'
MGC5370-R	5'-CAC TTG GAA GGT GTT CAG AAG TAA C-3'
WIG1-F	5'-CAA TGA TCC TCT TGC AAC ACG C-3'
WIG1-R	5'-CTT CTG TGG TGG AAG CTG CA-3'
MDM2-F	5'-GAT TCC AGC TTC GGA ACA AGA-3'
MDM2-R	5'-CTA CCA AGT TCC TGT AGA TCA TG-3'
TP5313-F	5'-CTG ATG GGA GGA GGT GAC ATC-3'
TP5313-R	5'-CAT GTA CTT ATG GGC CTC CTG G-3'
ASTN2-F	5'-CAC CAA AAT CAC GTG TGA GGA G-3'
ASTN2-R	5'-TGG CAG GAA GAA AGC AGA GTG-3'
RAN-F	5'-GTT GCC ATG CCT TGT CTC-3'
RAN-R	5'-CTC ACA GGT CAT CAT CCT CAT C-3'

Supplemental Table 2. 747 p53-dependent apoptosis-associated genes induced or repressed by IR in TK6 sorted by TEC. Genes and associated Affymetrix Probe IDs are listed along with DIV calculations for each gene. Within each TEC, genes are ordered by descending DIV(HU)TK6 – DIV(HU)WTK1.

<u>Gene</u>	<u>Probe ID</u>	<u>DIV(HL)</u> <u>TK6</u>	<u>DIV(HU)</u> <u>TK6</u>	<u>DIV(HU)</u> <u>WTK1</u>	<u>DIV(HU)</u> <u>NH32</u>	<u>TK6 -</u> <u>WTK1</u>	<u>TK6 -</u> <u>NH32</u>	<u>Cluster</u>
TP53I3	210609_s_at	237.55	313.28	0.13	1.13	313.15	312.15	1
CSTA	204971_at	113.61	105.85	0.02	0.24	105.83	105.61	1
FUCA1	202838_at	76.63	91.13	2.00	0.96	89.12	90.17	1
ID2	213931_at	75.56	69.55	0.18	0.13	69.38	69.42	1
MDM2	217373_x_at	21.81	54.31	0.09	0.10	54.22	54.21	1
CDKN1A	202284_s_at	13.65	43.92	2.05	0.91	41.88	43.01	1
MGC5370	217542_at	13.98	37.58	0.02	0.05	37.56	37.53	1
GADD45A	203725_at	22.42	36.43	0.15	0.20	36.28	36.23	1
WIG1	219628_at	21.34	33.20	0.14	0.39	33.06	32.81	1
ENC1	201340_s_at	9.96	28.28	1.43	0.36	26.85	27.92	1
PPM1D	204566_at	10.82	26.77	0.07	0.12	26.70	26.65	1
MR1	207565_s_at	24.69	23.71	1.69	0.74	22.03	22.98	1
DDB2	203409_at	5.28	19.30	0.26	0.21	19.04	19.09	1
ASTN2	215407_s_at	7.86	11.35	0.45	0.26	10.90	11.09	1
TRIM22	213293_s_at	3.81	10.81	0.26	0.13	10.55	10.68	1
SAT	203455_s_at	12.27	10.76	0.39	0.04	10.37	10.72	1
JAG1	216268_s_at	11.96	7.07	0.10	0.59	6.97	6.48	1
ATF3	202672_s_at	16.29	29.55	0.53	0.11	29.01	29.43	2
CYP4F3	206515_at	25.32	28.22	0.08	0.30	28.14	27.93	2
CTH	217127_at	21.92	27.48	1.55	1.96	25.93	25.52	2
ANKRA2	218769_s_at	16.91	25.07	0.12	0.02	24.94	25.05	2
CYP4F2	210452_x_at	10.93	19.96	0.62	0.84	19.34	19.12	2
SAT	213988_s_at	21.80	18.74	0.59	0.34	18.15	18.40	2
INHBE	210587_at	15.34	19.45	1.78	1.83	17.66	17.62	2
GPR109B	205220_at	29.69	17.49	0.09	0.04	17.40	17.45	2
ABCA12	215465_at	13.56	16.49	0.05	0.13	16.44	16.36	2
RGS16	209324_s_at	11.60	15.70	0.07	0.10	15.63	15.60	2
XCL2	214567_s_at	20.66	15.63	0.04	0.65	15.59	14.98	2
FDXR	207813_s_at	4.80	14.54	0.02	0.07	14.52	14.47	2
IBRDC3	213038_at	7.61	12.37	0.04	0.08	12.33	12.29	2
P8	209230_s_at	11.84	12.13	0.11	0.05	12.01	12.08	2
MR1	210224_at	10.18	11.96	0.52	0.79	11.44	11.16	2
PSPH	205048_s_at	11.60	11.44	0.26	2.24	11.17	9.19	2
AIM1L	220289_s_at	7.99	11.16	0.01	0.11	11.15	11.05	2
RGS16	209325_s_at	7.86	10.85	0.11	0.16	10.74	10.68	2
SOX4	201416_at	7.26	10.54	0.12	0.54	10.42	10.01	2
MR1	210223_s_at	12.43	10.77	0.41	0.19	10.36	10.58	2
TP53AP1	209917_s_at	9.33	10.59	0.22	0.01	10.36	10.58	2
ENC1	201341_at	4.10	10.53	0.46	0.51	10.06	10.01	2

CGI-40	56256_at	9.39	10.32	0.50	0.35	9.82	9.97	2
CEBPB	212501_at	5.90	9.53	0.41	0.31	9.11	9.21	2
SESN1	218346_s_at	3.44	8.17	0.03	0.06	8.14	8.10	2
RPS27L	218007_s_at	4.74	7.98	0.03	0.13	7.95	7.85	2
ZNF195	204234_s_at	5.54	8.08	0.17	0.49	7.91	7.60	2
DDIT4	202887_s_at	3.95	8.79	1.13	0.11	7.66	8.68	2
ADA	216705_s_at	11.52	7.70	0.05	0.13	7.65	7.57	2
CEACAM1	209498_at	5.77	7.40	0.07	0.04	7.34	7.36	2
TNFRSF6	216252_x_at	4.74	7.44	0.17	0.09	7.27	7.36	2
HIST1H2BB	208547_at	5.24	7.37	0.18	0.24	7.19	7.13	2
PMAIP1	204286_s_at	5.05	7.13	0.05	0.05	7.08	7.08	2
MDM2	205386_s_at	4.50	7.26	0.22	0.63	7.04	6.63	2
XCL1	206366_x_at	9.55	7.15	0.11	0.20	7.04	6.95	2
TAX1BP3	215464_s_at	2.40	7.14	0.66	0.17	6.47	6.97	2
MDS025	218288_s_at	2.85	6.42	0.10	0.04	6.33	6.39	2
MIRAB13	55081_at	5.29	6.46	0.29	0.17	6.17	6.28	2
ADA	204639_at	7.74	6.29	0.17	0.12	6.13	6.17	2
PPL	203407_at	5.03	6.20	0.10	0.53	6.10	5.67	2
C12ORF5	219099_at	1.59	5.97	0.14	0.16	5.82	5.81	2
JAG1	209099_x_at	9.65	5.83	0.12	0.24	5.72	5.59	2
TNFRSF6	215719_x_at	3.81	5.79	0.07	0.06	5.71	5.73	2
TIEG	202393_s_at	7.17	7.98	2.27	0.43	5.71	7.55	2
TM7SF3	217974_at	2.38	5.81	0.18	0.38	5.63	5.42	2
ASCC3	212815_at	3.99	5.87	0.67	0.39	5.21	5.49	2
BTG1	200921_s_at	2.86	5.66	0.62	0.06	5.04	5.61	2
BC001131	210387_at	4.92	5.40	0.37	1.15	5.04	4.25	2
HES1	203394_s_at	7.07	6.32	1.32	0.16	5.00	6.16	2
BTG2	201236_s_at	1.08	5.18	0.28	0.27	4.91	4.91	2
BAX	208478_s_at	1.92	5.07	0.17	0.41	4.90	4.67	2
PTPRE	221840_at	4.91	4.93	0.05	0.36	4.88	4.57	2
IBRDC3	36564_at	2.76	4.89	0.07	0.02	4.82	4.87	2
TFDP2	203589_s_at	7.05	5.97	1.30	0.16	4.66	5.81	2
APOBEC3B	206632_s_at	4.99	5.35	0.75	0.25	4.60	5.10	2
SAT	210592_s_at	5.11	4.60	0.26	0.14	4.34	4.46	2
IL1R2	205403_at	4.02	4.17	0.10	0.04	4.06	4.13	2
ARHGEF6	209539_at	1.12	4.14	0.17	0.52	3.97	3.61	2
TNFSF9	206907_at	0.86	3.83	0.13	0.28	3.70	3.55	2
RIOK3	202130_at	2.63	4.32	0.64	0.35	3.68	3.96	2
PPP1CB	201407_s_at	2.66	3.61	0.05	0.54	3.56	3.07	2
PDE4B	203708_at	0.89	3.49	0.10	0.03	3.40	3.46	2
FLJ11259	218627_at	0.88	3.05	0.02	0.01	3.03	3.04	2
MAP3K7IP2	212184_s_at	2.60	3.38	0.41	0.17	2.97	3.21	2
ATRX	208859_s_at	1.78	3.39	0.43	0.03	2.96	3.36	2
NEDD9	202149_at	2.61	2.92	0.21	0.04	2.71	2.88	2
TP53AP1	210886_x_at	2.18	2.95	0.28	0.04	2.67	2.91	2
HNRPD	213359_at	3.07	3.16	0.57	0.88	2.59	2.29	2

LPXN	216250_s_at	6.27	2.91	0.35	0.46	2.56	2.44	2
ROD1	214697_s_at	2.16	2.85	0.32	0.13	2.53	2.72	2
RIOK3	202129_s_at	2.32	2.65	0.16	0.36	2.49	2.30	2
SLC31A2	204204_at	1.11	2.45	0.09	0.19	2.36	2.26	2
PRO0297	213375_s_at	4.54	2.40	0.09	0.39	2.31	2.01	2
CHD9	212616_at	1.31	2.41	0.14	0.45	2.28	1.96	2
FTHFD	205208_at	1.46	2.74	0.62	1.19	2.13	1.56	2
STK4	211085_s_at	1.84	2.23	0.11	0.47	2.12	1.76	2
FLJ12994	218430_s_at	0.74	2.52	0.41	0.00	2.11	2.51	2
MYO5A	204527_at	0.90	2.30	0.26	0.01	2.05	2.29	2
F2R	203989_x_at	1.12	2.01	0.05	0.11	1.96	1.90	2
PTPN13	204201_s_at	1.02	2.20	0.25	0.23	1.94	1.97	2
AK022363	215858_at	0.77	3.28	1.44	0.78	1.84	2.50	2
RDX	212397_at	1.93	2.30	0.47	0.25	1.83	2.05	2
VAMP8	202546_at	1.86	1.83	0.02	0.07	1.82	1.77	2
TNFRSF17	206641_at	2.28	2.18	0.44	0.77	1.74	1.41	2
APOBEC3G	204205_at	1.90	2.06	0.36	0.14	1.71	1.93	2
APOBEC3F	214995_s_at	1.35	2.06	0.39	0.03	1.66	2.02	2
HEMK1	218621_at	1.08	2.37	0.75	1.07	1.63	1.30	2
PIG8	203491_s_at	1.79	2.15	0.56	0.11	1.59	2.04	2
AL049985	215507_x_at	0.26	1.85	0.34	0.84	1.51	1.01	2
PSPH	205194_at	1.43	1.40	0.04	0.19	1.36	1.21	2
GM2A	215891_s_at	0.95	2.16	0.83	0.57	1.33	1.59	2
SMUG1	218685_s_at	0.76	1.43	0.14	0.44	1.29	0.98	2
CLK4	210346_s_at	0.92	1.42	0.20	0.13	1.22	1.29	2
CPT2	204264_at	0.79	1.83	0.85	0.35	0.99	1.49	2
PBXIP1	214177_s_at	1.63	1.61	0.75	0.47	0.86	1.14	2
ARID4B	221230_s_at	1.20	1.32	0.66	0.20	0.66	1.12	2
MRPS6	212944_at	0.55	0.86	0.24	0.21	0.62	0.66	2
OAS1	205552_s_at	0.71	0.86	0.33	0.25	0.53	0.61	2
GPM6A	209470_s_at	2.70	0.63	0.11	0.23	0.51	0.40	2
GPM6A	209469_at	1.51	0.62	0.19	0.14	0.42	0.48	2
ITGA4	205885_s_at	3.53	6.36	0.26	0.02	6.10	6.34	3
ZNF85	206572_x_at	3.53	4.96	0.21	0.39	4.75	4.57	3
C10ORF137	215072_x_at	3.15	6.97	2.50	1.44	4.47	5.53	3
GLYAT	206930_at	1.10	3.70	0.07	1.74	3.64	1.96	3
11-Sep	214293_at	0.73	4.00	0.45	0.29	3.55	3.71	3
SERPINB7	206421_s_at	1.44	3.97	1.03	0.21	2.94	3.76	3
MGP	202291_s_at	3.10	5.30	2.46	0.06	2.84	5.23	3
GTF2I	210892_s_at	2.17	3.76	1.24	0.39	2.52	3.36	3
X04603	r2-Bs-thr-M_s_at	1.72	2.53	0.07	0.21	2.45	2.32	3
AL109696	215311_at	1.95	3.25	0.81	1.59	2.44	1.66	3
HRASLS	219983_at	3.22	3.32	0.88	0.98	2.44	2.34	3
BC053675	209754_s_at	2.52	2.61	0.24	0.17	2.37	2.45	3
SLC7A1	206566_at	0.98	2.26	0.05	0.15	2.20	2.11	3

C20ORF45	217851_s_at	1.05	2.46	0.28	0.24	2.18	2.23	3
AF173894	214890_s_at	1.27	2.02	0.07	0.04	1.95	1.98	3
ECT2	219787_s_at	0.92	2.70	0.77	0.30	1.93	2.40	3
NM_024879	220436_at	2.05	1.97	0.11	0.08	1.86	1.90	3
EIF1AX	201016_at	0.88	2.19	0.35	0.11	1.84	2.08	3
AK027172	216798_at	1.06	1.86	0.06	0.20	1.79	1.66	3
KTN1	200914_x_at	1.94	2.01	0.27	0.37	1.74	1.64	3
FLJ10407	218073_s_at	1.24	1.76	0.06	0.02	1.70	1.74	3
ACTL6A	202666_s_at	0.85	1.92	0.29	0.10	1.62	1.82	3
ANP32E	208103_s_at	1.13	1.97	0.43	0.12	1.54	1.85	3
CENPA	204962_s_at	3.36	2.14	0.62	0.15	1.52	1.99	3
EPAS1	200879_s_at	2.65	2.97	1.45	0.89	1.52	2.08	3
MMP12	204580_at	0.81	1.64	0.15	0.03	1.49	1.62	3
AF119867	220699_s_at	0.82	1.56	0.10	0.09	1.46	1.48	3
TCF7L2	216035_x_at	1.21	1.67	0.22	0.21	1.45	1.46	3
GPR22	221288_at	1.68	1.80	0.37	0.64	1.43	1.16	3
HMG4	209786_at	1.12	1.59	0.16	0.12	1.43	1.46	3
EBAG9	204274_at	1.04	1.71	0.33	0.25	1.38	1.46	3
MGC34132	221935_s_at	1.21	1.78	0.40	0.64	1.38	1.13	3
FLJ11795	220112_at	1.21	1.55	0.18	0.18	1.37	1.37	3
AF308291	216812_at	0.93	1.53	0.17	0.09	1.36	1.44	3
SMC5L1	212927_at	1.19	1.89	0.53	0.18	1.36	1.72	3
ELKS	216440_at	0.76	1.57	0.22	0.08	1.35	1.49	3
SPC25	209891_at	0.84	1.38	0.06	0.05	1.32	1.33	3
DHX9	212107_s_at	0.98	1.47	0.18	0.08	1.29	1.38	3
HIST1H1B	214534_at	1.91	1.34	0.07	0.13	1.27	1.21	3
AK129777	211647_x_at	1.03	1.43	0.19	0.05	1.24	1.38	3
OR2F1	217302_at	1.83	1.41	0.24	0.14	1.17	1.27	3
UGT1A8	221305_s_at	0.89	1.21	0.05	0.32	1.16	0.89	3
CRISP2	210262_at	0.96	1.29	0.17	0.50	1.12	0.79	3
SYCP1	216917_s_at	0.94	1.15	0.05	0.08	1.10	1.06	3
BX640898	213025_at	1.10	1.56	0.53	0.01	1.04	1.55	3
PARC	213204_at	0.95	1.14	0.11	0.11	1.03	1.03	3
SPO11	222259_s_at	0.91	1.11	0.09	0.20	1.03	0.91	3
PECAM1	208981_at	1.47	1.49	0.47	0.51	1.01	0.98	3
NEXN	212847_at	1.03	1.43	0.42	0.04	1.00	1.38	3
PTHLH	206300_s_at	0.78	1.24	0.25	0.33	0.99	0.91	3
1-Dec	220781_at	0.76	1.35	0.38	0.31	0.97	1.05	3
CYP2R1	207786_at	0.82	1.11	0.14	0.46	0.97	0.65	3
MMP16	208166_at	1.63	1.21	0.27	0.46	0.94	0.76	3
SLC4A7	209884_s_at	1.19	1.63	0.69	0.31	0.93	1.32	3
KELCHL	222141_at	0.74	0.93	0.01	0.18	0.93	0.75	3
UGCG	221765_at	1.14	1.21	0.29	0.07	0.92	1.14	3
U92992	217380_s_at	1.00	1.58	0.68	0.47	0.90	1.11	3
DDX3X	212514_x_at	0.88	1.10	0.26	0.03	0.84	1.07	3
ITGB1	216178_x_at	0.76	0.85	0.01	0.04	0.83	0.80	3

HMMR	207165_at	1.13	1.40	0.57	0.25	0.83	1.15	3
FLJ14084	219685_at	0.80	0.90	0.08	0.18	0.82	0.72	3
AF034187	216727_at	1.15	1.07	0.26	0.04	0.81	1.02	3
AU145203	216067_at	1.01	1.19	0.39	0.06	0.80	1.13	3
ARHGDI	213606_s_at	1.06	0.93	0.14	0.36	0.79	0.57	3
PAIP1	209064_x_at	0.86	0.85	0.09	0.05	0.76	0.79	3
TM4SF13	217979_at	0.79	0.82	0.07	0.25	0.75	0.57	3
CYP3A5	214234_s_at	0.96	1.27	0.53	0.44	0.74	0.82	3
SIX3	206634_at	0.86	0.94	0.21	0.23	0.73	0.71	3
CDC14B	221556_at	1.02	0.76	0.07	0.21	0.68	0.55	3
TLE1	215802_at	0.80	0.71	0.04	0.30	0.67	0.41	3
TM4SF1	215033_at	0.75	0.98	0.33	0.02	0.65	0.96	3
L22650	217246_s_at	1.11	0.65	0.05	0.15	0.60	0.49	3
GPR135	217641_at	0.83	0.79	0.23	0.12	0.56	0.68	3
CLECSF6	219947_at	0.75	0.78	0.23	0.37	0.55	0.41	3
GALNAC4S-6ST	203066_at	1.04	0.75	0.20	0.30	0.55	0.45	3
AF070571	214985_at	0.98	0.87	0.35	0.32	0.52	0.55	3
BE045142	217715_x_at	0.92	0.57	0.06	0.09	0.51	0.48	3
GABRA5	215531_s_at	0.85	0.60	0.14	0.18	0.46	0.42	3
STAM2	209649_at	1.20	0.57	0.12	0.27	0.45	0.30	3
DLX4	210259_s_at	1.00	0.52	0.07	0.25	0.45	0.28	3
YEATS2	221203_s_at	1.15	0.71	0.27	0.09	0.44	0.62	3
TRIM31	208170_s_at	0.77	0.59	0.18	0.08	0.42	0.51	3
ELYS	214766_s_at	0.82	0.73	0.32	0.13	0.41	0.59	3
PROS1	207808_s_at	0.79	0.54	0.15	0.04	0.40	0.51	3
TUBGCP3	203690_at	0.75	0.58	0.20	0.21	0.38	0.37	3
DFNB31	47553_at	0.84	0.47	0.11	0.22	0.35	0.24	3
JMJD1C	221763_at	0.80	0.50	0.17	0.01	0.33	0.49	3
AE000659	217412_at	0.87	0.52	0.19	0.21	0.33	0.31	3
GPC4	204984_at	0.81	0.38	0.06	0.04	0.32	0.34	3
AI097640	213484_at	1.44	0.34	0.13	0.11	0.21	0.24	3
PRKAA2	207709_at	0.91	0.30	0.12	0.03	0.18	0.27	3
HNRPD	221480_at	30.15	30.44	0.78	0.42	29.66	30.02	4
CUL4A	201424_s_at	8.30	9.77	0.42	0.17	9.35	9.60	4
DIXDC1	214724_at	5.83	8.38	0.55	0.09	7.83	8.29	4
AI393960	217662_x_at	3.58	5.84	0.25	0.39	5.59	5.45	4
ZBTB20	222357_at	2.03	6.13	0.81	0.01	5.32	6.12	4
LAMA2	216840_s_at	2.65	6.27	0.97	1.00	5.31	5.27	4
NRG2	206879_s_at	3.38	5.79	0.51	0.06	5.28	5.73	4
AB007876	206408_at	3.12	6.50	1.29	0.91	5.21	5.58	4
GABRG2	206849_at	4.91	6.22	1.17	1.34	5.06	4.89	4
ZNF339	206048_at	4.08	5.36	0.38	1.80	4.97	3.56	4
SLC2A1	201249_at	4.53	5.07	0.53	0.90	4.54	4.17	4
AK024231	216160_at	3.18	4.56	0.12	0.02	4.44	4.54	4
AW268081	217532_x_at	3.03	4.95	0.54	0.91	4.41	4.05	4

RREB1	216648_s_at	3.75	4.59	0.32	0.05	4.27	4.54	4
KIAA0555	205888_s_at	2.91	4.40	0.17	0.23	4.23	4.17	4
GABARAPL1	208869_s_at	2.56	4.40	0.18	0.84	4.21	3.56	4
RSN	210716_s_at	4.45	4.46	0.50	0.17	3.96	4.28	4
DEPDC2	220732_at	1.32	4.43	0.50	0.26	3.93	4.17	4
HSF2	209657_s_at	3.77	4.26	0.36	0.05	3.90	4.21	4
HFE	206087_x_at	3.23	4.06	0.27	0.07	3.79	4.00	4
SDBCAG84	215257_at	2.33	3.94	0.16	1.17	3.78	2.77	4
SIP	210691_s_at	2.11	4.13	0.39	0.38	3.75	3.75	4
MAGEH1	218573_at	3.83	6.21	2.49	2.49	3.72	3.71	4
RBPMS	209487_at	1.77	3.82	0.25	0.94	3.57	2.88	4
AF159054	220752_at	2.25	4.37	0.84	0.65	3.53	3.72	4
PPP2R2B	213849_s_at	2.62	3.70	0.18	0.47	3.53	3.23	4
KRT6C	214580_x_at	3.97	3.86	0.38	0.30	3.48	3.56	4
ACSL3	201662_s_at	2.98	3.37	0.09	0.15	3.28	3.22	4
SULF1	212344_at	2.56	3.28	0.03	0.03	3.25	3.25	4
NFIB	209290_s_at	3.46	3.28	0.07	0.08	3.21	3.20	4
LOC90806	217630_at	1.22	3.12	0.06	0.11	3.06	3.01	4
ADCY6	216743_at	1.77	4.03	1.09	0.30	2.94	3.73	4
BC053675	209753_s_at	1.82	3.11	0.22	0.04	2.89	3.07	4
AL110190	216642_at	1.68	2.88	0.05	0.35	2.83	2.53	4
FLJ20366	218692_at	2.19	3.07	0.25	0.83	2.82	2.24	4
LGMN	201212_at	0.93	2.84	0.06	0.25	2.78	2.59	4
COL4A3	216893_s_at	1.68	3.21	0.43	0.21	2.78	3.00	4
LCMT2	204013_s_at	1.00	3.02	0.39	0.26	2.63	2.76	4
SMARCA5	213859_x_at	1.31	2.68	0.08	0.18	2.59	2.50	4
SMC1L1	217555_at	1.89	2.95	0.42	0.78	2.53	2.17	4
OR1E1	214515_at	2.73	2.91	0.39	0.05	2.52	2.86	4
ZNF312	221086_s_at	1.99	2.97	0.46	0.66	2.51	2.30	4
SCAMP1	212425_at	2.12	3.26	0.75	1.29	2.51	1.97	4
ELA2A	206447_at	0.80	3.30	0.81	1.39	2.49	1.91	4
SCRG1	205475_at	1.89	2.86	0.38	0.00	2.47	2.85	4
IL8	211506_s_at	1.09	2.73	0.28	0.57	2.45	2.16	4
NM_025174	219846_at	2.71	2.86	0.42	0.12	2.44	2.75	4
DEPDC1	220295_x_at	1.68	3.27	0.85	0.66	2.42	2.61	4
AL356954	216826_at	1.92	2.50	0.14	0.05	2.36	2.45	4
BC063476	213459_at	2.12	2.90	0.60	0.55	2.30	2.35	4
UBE2J1	217823_s_at	1.31	2.44	0.14	0.24	2.29	2.19	4
PFKFB2	209992_at	1.81	2.42	0.17	0.92	2.26	1.50	4
PLEKHE1	212719_at	1.82	2.30	0.04	0.15	2.26	2.15	4
PA2G4	214794_at	1.81	2.49	0.27	0.01	2.22	2.48	4
DNAJD1	216947_at	1.50	2.40	0.20	0.83	2.20	1.57	4
NUP54	218256_s_at	1.55	2.18	0.04	0.07	2.15	2.11	4
KCNG1	214595_at	1.39	3.00	0.89	0.28	2.11	2.72	4
OR1A2	221445_at	1.35	2.46	0.39	0.28	2.07	2.18	4

HN4G	207456_at	1.05	2.32	0.26	1.07	2.06	1.26	4
PRKCH	218764_at	1.60	2.58	0.52	0.36	2.06	2.23	4
KRTHA1	206677_at	1.81	2.15	0.10	0.04	2.06	2.12	4
DLEU2	215629_s_at	2.41	2.62	0.57	0.32	2.05	2.30	4
PCDHA1	210674_s_at	1.15	2.15	0.11	0.60	2.05	1.55	4
FLJ22222	53071_s_at	1.46	2.09	0.05	0.19	2.04	1.90	4
X61079	217063_x_at	1.22	2.33	0.35	0.38	1.97	1.95	4
BUCS1	215432_at	0.93	2.65	0.70	0.49	1.95	2.16	4
GALNT7	218313_s_at	1.30	2.16	0.21	0.20	1.95	1.96	4
CSHL1	208293_x_at	2.25	2.28	0.35	1.07	1.94	1.22	4
RHOB	212099_at	1.91	2.32	0.41	0.50	1.91	1.83	4
HNRPA3	211929_at	1.41	2.28	0.39	0.28	1.89	2.00	4
YES1	222180_at	1.59	2.05	0.16	0.60	1.89	1.45	4
SQLE	213562_s_at	1.22	2.06	0.18	0.04	1.88	2.02	4
MAOA	204388_s_at	0.88	2.04	0.17	0.29	1.87	1.75	4
CSH1	202493_x_at	1.03	2.10	0.23	0.38	1.87	1.72	4
PSMAL/GC P III	205860_x_at	0.81	1.89	0.03	0.18	1.87	1.71	4
CHML	219032_x_at	1.77	2.05	0.19	0.08	1.86	1.97	4
ADCY9	204497_at	1.07	1.82	0.03	0.79	1.79	1.03	4
MICAL2	206275_s_at	0.87	1.84	0.07	0.40	1.76	1.44	4
AQP3	39248_at	1.62	2.72	0.96	0.54	1.75	2.18	4
CYP2C9	217558_at	1.45	1.85	0.09	0.02	1.75	1.83	4
AL353587	216814_at	1.44	2.35	0.60	0.92	1.75	1.42	4
OR2F1	208525_s_at	1.13	2.12	0.37	0.54	1.75	1.57	4
RBAF600	215636_at	1.34	2.08	0.34	0.18	1.75	1.90	4
GRM8	216992_s_at	1.34	2.33	0.59	0.29	1.74	2.04	4
CYBB	203923_s_at	2.03	1.93	0.19	0.87	1.73	1.06	4
IAN4L1	215352_at	0.95	1.95	0.22	0.07	1.73	1.88	4
IL20RA	219115_s_at	1.22	1.82	0.09	0.60	1.73	1.22	4
BC065205	208933_s_at	1.84	1.83	0.13	0.14	1.71	1.69	4
FLJ20519	221222_s_at	0.85	1.81	0.14	0.12	1.68	1.69	4
PDK4	205960_at	1.40	1.75	0.07	0.86	1.68	0.89	4
BUB1	209642_at	1.63	2.10	0.43	0.09	1.67	2.01	4
TFPI	214378_at	1.17	2.43	0.76	0.27	1.67	2.16	4
FLJ21687	219965_s_at	1.22	2.05	0.38	0.63	1.66	1.42	4
EIF4E	201436_at	0.88	2.64	1.00	0.29	1.65	2.35	4
RAD23B	214422_at	0.73	1.78	0.15	0.50	1.63	1.27	4
PLXDC1	214081_at	1.03	1.85	0.22	0.90	1.63	0.95	4
LOC284244	214162_at	0.73	1.76	0.15	0.32	1.60	1.44	4
CELSR1	204539_s_at	1.26	2.20	0.60	0.27	1.60	1.93	4
USP1	202412_s_at	1.46	1.63	0.05	0.03	1.58	1.60	4
SMAD4	202527_s_at	1.14	2.21	0.65	0.22	1.56	1.99	4
TRPC5	220552_at	1.07	1.57	0.02	0.09	1.55	1.48	4
ATP2B1	212930_at	0.90	1.70	0.16	0.47	1.54	1.23	4
FLJ14001	220194_at	1.14	1.58	0.04	0.10	1.53	1.48	4

HCN4	206946_at	1.40	1.97	0.44	0.59	1.53	1.38	4
PCYT1B	206751_s_at	1.03	2.33	0.81	1.05	1.52	1.28	4
RORB	206443_at	0.96	1.69	0.18	0.44	1.50	1.25	4
SKP2	210567_s_at	1.07	1.67	0.17	0.03	1.50	1.63	4
PLK4	204887_s_at	1.41	1.68	0.19	0.12	1.49	1.55	4
KIF11	204444_at	1.24	1.56	0.08	0.08	1.48	1.48	4
AB002330	212060_at	0.86	1.59	0.12	0.22	1.47	1.37	4
DLX5	213707_s_at	0.78	1.72	0.26	0.25	1.46	1.47	4
LEF1	210948_s_at	1.39	2.74	1.29	0.95	1.45	1.79	4
BX248753	209388_at	1.12	2.17	0.73	0.79	1.44	1.38	4
AK026811	219880_at	0.90	1.68	0.25	0.15	1.43	1.54	4
AK022170	215786_at	0.91	1.56	0.14	0.16	1.42	1.40	4
NM_024856	220649_at	1.04	1.59	0.18	0.37	1.41	1.22	4
PPP1R16B	41577_at	1.27	1.75	0.34	0.35	1.41	1.40	4
CD226	207315_at	1.15	1.87	0.46	0.15	1.41	1.72	4
SLC25A13	203775_at	0.86	1.43	0.05	0.17	1.38	1.26	4
PCDH11X	208366_at	1.01	1.59	0.22	0.72	1.37	0.87	4
MGAM	206522_at	0.88	1.41	0.04	0.10	1.37	1.31	4
PLCE1	205112_at	1.09	2.13	0.76	0.64	1.36	1.49	4
NCR1	207860_at	1.15	1.42	0.06	0.25	1.36	1.17	4
CGI-12	219363_s_at	1.13	2.05	0.70	0.41	1.36	1.65	4
ZNF32	209538_at	1.65	1.45	0.09	0.01	1.35	1.44	4
MSH6	211450_s_at	1.12	1.39	0.04	0.03	1.35	1.36	4
HEPH	203903_s_at	0.79	1.40	0.08	0.33	1.32	1.08	4
AK026493	215845_x_at	0.78	1.39	0.09	0.32	1.30	1.06	4
FASN	212218_s_at	1.05	1.42	0.14	0.26	1.29	1.16	4
DSC3	206032_at	1.09	1.94	0.66	0.94	1.29	1.00	4
AI151479	216261_at	0.88	1.81	0.53	0.88	1.28	0.93	4
FAM12A	217568_at	1.19	1.37	0.10	0.07	1.28	1.30	4
AMIGO2	222108_at	1.15	1.41	0.14	0.66	1.27	0.75	4
CYP2C9	214420_s_at	1.73	1.92	0.66	0.04	1.26	1.88	4
FLJ20574	220958_at	1.17	2.20	0.94	0.15	1.26	2.05	4
RSC1A1	214583_at	0.80	1.71	0.46	0.29	1.25	1.43	4
HEBP1	218450_at	1.12	1.58	0.34	0.12	1.25	1.47	4
STIP1	212009_s_at	0.89	1.42	0.18	0.12	1.24	1.30	4
AB028977	216086_at	0.92	1.42	0.18	0.42	1.24	1.00	4
TEAD1	214600_at	0.89	1.34	0.10	0.66	1.24	0.68	4
SCLY	59705_at	2.36	1.93	0.70	0.26	1.23	1.66	4
PRPF4B	211090_s_at	1.27	1.51	0.28	0.03	1.23	1.48	4
AF103574	217145_at	1.13	1.83	0.60	0.47	1.23	1.36	4
PRR3	204795_at	1.46	1.33	0.11	0.01	1.23	1.33	4
GLP2R	221312_at	0.82	1.76	0.53	0.14	1.23	1.62	4
SFRS2	214882_s_at	1.22	1.42	0.22	0.33	1.20	1.09	4
EVI5	208297_s_at	0.81	1.27	0.07	0.46	1.20	0.82	4
ARL7	202206_at	1.23	1.33	0.13	0.20	1.20	1.13	4
C22ORF20	220675_s_at	0.86	1.32	0.13	0.04	1.19	1.28	4

C3ORF14	219288_at	1.37	1.50	0.32	0.01	1.18	1.49	4
AK024108	217164_at	1.04	1.52	0.37	0.62	1.16	0.90	4
SCARB2	201647_s_at	0.86	1.20	0.04	0.17	1.16	1.02	4
CELSR1	214353_at	0.95	1.19	0.07	0.05	1.12	1.14	4
PRKRIR	209323_at	0.77	1.19	0.07	0.22	1.12	0.97	4
RTCD1	215351_at	1.08	1.85	0.75	0.77	1.10	1.08	4
DARS	201624_at	1.11	1.19	0.10	0.01	1.09	1.18	4
NM_016646	208154_at	0.74	1.18	0.09	0.58	1.09	0.60	4
DNAJB12	202865_at	1.80	1.22	0.13	0.08	1.09	1.14	4
ACSL3	201660_at	1.06	1.15	0.07	0.02	1.08	1.13	4
MID1	210694_s_at	1.05	1.23	0.17	0.14	1.06	1.08	4
CRIP1	205081_at	0.76	1.08	0.03	0.33	1.05	0.75	4
C2ORF23	204364_s_at	1.04	1.10	0.04	0.20	1.05	0.89	4
IL1A	210118_s_at	1.43	1.85	0.80	0.30	1.05	1.54	4
PPEF1	206547_s_at	0.97	1.26	0.22	0.21	1.04	1.05	4
DDX17	207264_at	0.79	1.11	0.07	0.23	1.04	0.88	4
NFIB	213029_at	0.79	1.16	0.13	0.19	1.03	0.97	4
MMP28	219909_at	0.75	1.04	0.01	0.49	1.02	0.54	4
TETTRAN	214685_at	0.80	1.47	0.45	0.69	1.02	0.77	4
EBAG9	204278_s_at	0.85	1.18	0.16	0.26	1.02	0.92	4
NOL7	210098_s_at	1.02	1.59	0.57	0.06	1.01	1.53	4
KIAA0509	215480_at	0.74	1.14	0.13	0.15	1.01	0.99	4
LRP8	205282_at	1.20	1.90	0.90	0.08	1.00	1.82	4
ARHGAP19	37577_at	0.77	1.11	0.12	0.13	0.99	0.98	4
HSXIAPAF1	206133_at	0.73	1.33	0.34	0.44	0.99	0.89	4
SFRS2	200753_x_at	0.91	1.24	0.25	0.22	0.99	1.02	4
API5	214959_s_at	0.81	1.08	0.09	0.01	0.98	1.07	4
EML1	204797_s_at	0.81	1.05	0.07	0.03	0.98	1.02	4
EYA4	207327_at	0.75	1.10	0.12	0.52	0.98	0.58	4
HSPA14	219212_at	1.10	1.12	0.14	0.14	0.98	0.98	4
PRKCI	209677_at	0.75	1.05	0.08	0.05	0.97	1.00	4
NM_017973	220822_at	0.78	1.18	0.21	0.34	0.97	0.85	4
EIF1AX	201018_at	0.82	1.07	0.10	0.07	0.97	1.00	4
MAGEB1	207534_at	0.80	1.14	0.18	0.30	0.96	0.84	4
PCNX	215175_at	0.85	1.09	0.14	0.22	0.96	0.87	4
SNTG1	215964_at	1.10	1.22	0.27	0.53	0.94	0.69	4
SQLE	209218_at	0.92	1.02	0.08	0.00	0.94	1.02	4
RUNX2	216994_s_at	1.09	1.19	0.26	0.13	0.94	1.07	4
IL21	221271_at	0.90	1.08	0.15	0.23	0.93	0.85	4
ASB1	212819_at	0.94	1.67	0.76	0.32	0.92	1.36	4
L34163	211632_at	1.01	1.33	0.41	0.04	0.91	1.29	4
AK026847	216795_at	0.84	1.03	0.12	0.16	0.91	0.87	4
CCNA2	203418_at	0.74	0.92	0.01	0.04	0.91	0.88	4
MASS1	215396_at	0.93	1.25	0.35	0.53	0.90	0.73	4
BCMO1	220087_at	0.98	0.96	0.05	0.10	0.90	0.86	4
KCNV2	217522_at	0.81	1.17	0.28	0.50	0.90	0.67	4

AC004862	216590_at	1.10	1.30	0.41	0.26	0.89	1.04	4
SH3GL2	205751_at	0.85	1.21	0.34	0.34	0.88	0.88	4
MYO1B	212364_at	0.83	0.89	0.02	0.14	0.87	0.75	4
DYRK1A	211079_s_at	0.98	0.94	0.08	0.08	0.86	0.86	4
LAX	207734_at	0.91	1.07	0.21	0.14	0.86	0.92	4
ADAM7	211239_s_at	0.81	1.68	0.82	0.17	0.86	1.51	4
KIAA0774	214961_at	1.04	1.49	0.64	0.24	0.85	1.25	4
SRR	218156_s_at	0.88	1.12	0.27	0.03	0.85	1.10	4
MYH8	206717_at	0.85	1.35	0.51	0.13	0.85	1.22	4
ELAVL2	208427_s_at	0.86	1.02	0.18	0.17	0.84	0.86	4
SEH1L	221931_s_at	0.99	1.11	0.27	0.17	0.84	0.94	4
HOXA2	214457_at	0.79	0.85	0.02	0.06	0.83	0.79	4
APXL	204967_at	1.79	1.24	0.41	0.48	0.83	0.75	4
RCN2	201486_at	1.17	1.50	0.67	0.05	0.83	1.44	4
HCRTR1	207619_at	0.86	1.36	0.55	0.36	0.81	1.00	4
EIF3S10	200597_at	1.65	1.35	0.54	0.13	0.81	1.22	4
ADH1B	209612_s_at	1.00	0.83	0.02	0.25	0.81	0.58	4
EMCN	219436_s_at	1.06	1.07	0.27	0.23	0.80	0.84	4
HAVCR1	207052_at	0.82	0.93	0.13	0.31	0.80	0.62	4
DSP	200606_at	0.88	0.84	0.04	0.08	0.79	0.75	4
AF203728	216369_at	0.86	0.94	0.15	0.32	0.79	0.63	4
HS3ST1	205466_s_at	0.90	1.27	0.48	0.23	0.79	1.04	4
CGI-115	219037_at	1.07	1.52	0.73	0.08	0.79	1.44	4
AL022068	216581_at	1.13	0.99	0.20	0.15	0.79	0.84	4
DLEU2	216870_x_at	1.04	0.95	0.16	0.06	0.78	0.89	4
IGSF4B	217442_at	0.96	1.05	0.30	0.52	0.75	0.53	4
FMO5	215300_s_at	2.42	1.09	0.34	0.52	0.75	0.56	4
RIPX	203724_s_at	0.75	0.79	0.05	0.30	0.75	0.49	4
UCP1	221384_at	1.00	1.47	0.72	0.20	0.75	1.27	4
COL4A6	210945_at	0.89	0.83	0.08	0.30	0.74	0.53	4
ING1L	205981_s_at	0.98	0.84	0.10	0.18	0.74	0.66	4
BC029660	212381_at	0.82	0.90	0.17	0.09	0.74	0.82	4
PRSS12	205515_at	0.89	0.97	0.24	0.47	0.73	0.50	4
KLRA1	207229_at	0.75	0.91	0.21	0.38	0.71	0.54	4
MTSS1	203037_s_at	1.33	1.12	0.42	0.30	0.70	0.83	4
ARHGAP19	212738_at	0.99	1.25	0.55	0.34	0.70	0.91	4
AL022727	217334_at	0.91	0.87	0.18	0.08	0.69	0.79	4
TOPORS	204071_s_at	0.69	0.74	0.07	0.30	0.68	0.45	4
WBP4	203598_s_at	1.06	1.33	0.66	0.07	0.67	1.26	4
SERPINB9	209723_at	0.80	0.73	0.06	0.35	0.67	0.38	4
UBBP2	217125_at	0.97	0.74	0.09	0.09	0.66	0.65	4
AI133721	222328_x_at	0.89	1.14	0.50	0.25	0.64	0.89	4
MAP3K7IP1	203901_at	0.81	0.89	0.25	0.04	0.64	0.85	4
FLJ14075	218591_s_at	0.72	0.80	0.17	0.15	0.64	0.65	4
CD163	216233_at	0.88	1.17	0.55	0.22	0.62	0.94	4
H1FX	204805_s_at	0.62	0.83	0.22	0.37	0.61	0.47	4

C14ORF10	218852_at	0.82	0.97	0.36	0.26	0.61	0.71	4
MAZ	207824_s_at	1.60	1.02	0.42	0.05	0.60	0.96	4
GPR25	221363_x_at	1.68	0.88	0.30	0.29	0.58	0.59	4
CHEK1	205393_s_at	0.90	0.66	0.10	0.00	0.56	0.66	4
USH1C	221173_at	0.92	0.97	0.42	0.41	0.55	0.56	4
LAMC2	207517_at	0.93	0.89	0.34	0.22	0.54	0.67	4
SLC1A7	210923_at	0.78	0.68	0.16	0.18	0.53	0.50	4
ABCG4	207593_at	1.51	0.59	0.07	0.06	0.52	0.53	4
TLE1	203222_s_at	0.98	0.71	0.20	0.21	0.51	0.50	4
CNOT3	203239_s_at	0.63	0.79	0.28	0.17	0.51	0.62	4
DLG1	202516_s_at	0.79	0.56	0.05	0.21	0.50	0.34	4
CENPF	209172_s_at	0.81	0.97	0.48	0.18	0.49	0.79	4
CALR	200935_at	0.76	0.52	0.03	0.20	0.48	0.32	4
CTAG1B	217339_x_at	0.39	0.62	0.14	0.16	0.48	0.46	4
PTPRF	215066_at	1.08	0.62	0.17	0.20	0.45	0.42	4
UBQLN3	220422_at	0.81	0.70	0.26	0.24	0.44	0.46	4
C21ORF5	215219_at	0.92	0.48	0.11	0.21	0.37	0.27	4
SCUBE2	219197_s_at	0.82	0.60	0.26	0.29	0.33	0.30	4
MOCS1	211673_s_at	1.06	0.57	0.26	0.15	0.31	0.42	4
PMS2L9	217488_x_at	1.17	0.30	0.04	0.00	0.26	0.30	4
NM_013394	208240_s_at	0.72	0.29	0.04	0.06	0.25	0.23	4
RRAGD	221524_s_at	0.72	0.38	0.18	0.10	0.20	0.28	4
POU3F1	208345_s_at	0.53	0.23	0.07	0.08	0.16	0.16	4
SHH	207586_at	0.47	0.19	0.05	0.05	0.14	0.14	4
CEL	205910_s_at	4.29	5.80	0.15	0.16	5.65	5.65	5
EGR1	201694_s_at	4.84	4.88	0.09	0.20	4.79	4.68	5
ZNF79	214138_at	3.42	4.80	0.08	0.04	4.72	4.76	5
GGTL4	215603_x_at	4.88	5.28	0.57	0.05	4.72	5.24	5
PRKAB1	201834_at	1.87	4.54	0.02	0.04	4.52	4.50	5
TP53AP1	210241_s_at	2.79	4.65	0.13	0.05	4.52	4.60	5
CEACAM1	211889_x_at	4.13	4.40	0.04	0.00	4.35	4.39	5
BTG1	200920_s_at	2.21	4.52	0.23	0.05	4.29	4.47	5
ASTN2	209693_at	3.26	4.41	0.23	0.54	4.18	3.88	5
XPC	209375_at	1.12	4.05	0.14	0.13	3.92	3.93	5
PLXNB2	208890_s_at	0.78	3.92	0.02	0.03	3.90	3.89	5
CCR7	206337_at	2.22	3.91	0.05	0.04	3.86	3.87	5
GBP1	202269_x_at	4.48	3.97	0.19	0.04	3.79	3.93	5
GGT1	207131_x_at	2.90	3.72	0.04	0.01	3.68	3.72	5
SERPINE1	202627_s_at	2.61	3.76	0.34	0.38	3.42	3.39	5
RFK	203225_s_at	2.54	3.67	0.25	0.48	3.42	3.20	5
DUSP14	203367_at	1.14	3.49	0.08	0.07	3.41	3.41	5
ZNF79	216486_x_at	1.17	3.43	0.05	0.15	3.38	3.27	5
DDR1	207169_x_at	2.58	3.74	0.39	0.09	3.35	3.65	5
CSNK1G1	221673_s_at	3.14	3.34	0.03	0.18	3.32	3.17	5
GRN	200678_x_at	1.90	3.68	0.37	0.41	3.30	3.26	5
ITGAM	205786_s_at	1.93	3.27	0.05	0.16	3.22	3.10	5

DDR1	1007_s_at	2.52	3.37	0.21	0.21	3.16	3.16	5
SOX4	213668_s_at	2.12	3.23	0.07	0.15	3.16	3.08	5
PRKAB1	201835_s_at	1.72	3.30	0.17	0.09	3.13	3.22	5
CD44	204489_s_at	3.45	3.23	0.17	0.02	3.06	3.21	5
MPHOSPH9	206205_at	2.63	3.10	0.09	0.02	3.02	3.08	5
CFLAR	214486_x_at	2.11	3.55	0.55	0.37	3.01	3.18	5
FLJ10997	219239_s_at	1.75	2.93	0.01	0.10	2.92	2.83	5
PLEKHF1	219566_at	0.97	3.06	0.16	0.16	2.90	2.89	5
CCL3	205114_s_at	3.18	2.80	0.00	0.49	2.79	2.31	5
TAX1BP3	209154_at	1.78	2.85	0.07	0.14	2.78	2.70	5
CCL20	205476_at	3.57	2.83	0.11	0.03	2.72	2.80	5
PTPN22	208010_s_at	1.82	2.74	0.09	0.25	2.65	2.49	5
DUSP4	204014_at	4.73	2.65	0.02	0.04	2.63	2.61	5
GPR56	212070_at	2.84	3.11	0.54	0.18	2.57	2.93	5
IVL	214599_at	2.51	2.62	0.06	0.08	2.55	2.54	5
SLC35D1	209711_at	1.24	2.55	0.02	0.45	2.54	2.11	5
KCNN3	205902_at	2.63	2.51	0.01	0.49	2.49	2.01	5
CYP4F3	206514_s_at	1.59	2.93	0.50	0.13	2.43	2.80	5
TNFRSF6	204781_s_at	1.32	2.49	0.08	0.02	2.41	2.47	5
ATXN3	205416_s_at	1.89	2.44	0.04	0.11	2.40	2.33	5
PLAC8	219014_at	1.80	2.40	0.02	0.12	2.38	2.28	5
SCAP2	204362_at	2.83	3.14	0.85	0.38	2.28	2.76	5
UGT2B17	207245_at	1.83	2.38	0.10	0.42	2.28	1.96	5
MVP	202180_s_at	2.17	2.29	0.02	0.09	2.28	2.20	5
STOM	201061_s_at	1.65	2.76	0.49	0.14	2.27	2.62	5
APOBEC3C	209584_x_at	1.56	2.32	0.07	0.02	2.25	2.31	5
ZC3HDC7	218348_s_at	1.44	2.32	0.15	0.07	2.18	2.25	5
MART2	219687_at	1.58	2.26	0.09	0.12	2.17	2.14	5
CFLAR	209508_x_at	2.88	2.93	0.76	0.20	2.16	2.73	5
CRSP3	218846_at	1.71	2.29	0.13	0.09	2.16	2.20	5
CASK	211208_s_at	1.08	2.54	0.45	0.12	2.09	2.42	5
ZNF184	213452_at	1.54	2.32	0.24	1.04	2.08	1.28	5
DDR1	208779_x_at	1.63	2.15	0.10	0.07	2.05	2.08	5
LAPTM5	201720_s_at	2.34	2.30	0.26	0.07	2.04	2.22	5
HIST1H2AD	214472_at	2.08	2.12	0.08	0.05	2.04	2.06	5
CDC42EP4	214721_x_at	1.07	2.16	0.13	0.22	2.03	1.95	5
AB023154	212611_at	1.06	2.02	0.01	0.01	2.01	2.01	5
HRAS	212983_at	0.80	2.01	0.02	0.05	1.99	1.96	5
TNFRSF6	204780_s_at	1.07	2.01	0.03	0.01	1.98	2.00	5
DUSP10	215501_s_at	4.90	2.19	0.23	0.29	1.96	1.89	5
KRT17	205157_s_at	1.07	2.11	0.16	0.27	1.95	1.84	5
TOB1	202704_at	2.26	2.30	0.35	0.15	1.94	2.15	5
SLC30A1	212907_at	1.33	2.01	0.07	0.01	1.93	2.00	5
ACTA2	200974_at	1.73	1.99	0.09	0.04	1.90	1.95	5
REV3L	208070_s_at	1.02	2.01	0.14	0.02	1.87	1.99	5
IFRD1	202147_s_at	3.34	2.25	0.40	0.01	1.84	2.23	5

ATXN3	205415_s_at	1.55	1.90	0.06	0.12	1.84	1.78	5
GCH1	204224_s_at	1.71	1.85	0.04	0.04	1.81	1.82	5
STAT3	208991_at	0.95	1.87	0.06	0.01	1.81	1.86	5
ZNF84	204453_at	2.20	1.88	0.10	0.50	1.79	1.39	5
F5	204714_s_at	1.50	2.05	0.27	0.02	1.78	2.03	5
VEGF	210512_s_at	1.48	1.80	0.03	0.14	1.78	1.67	5
MDM2	211832_s_at	1.04	1.85	0.07	0.20	1.78	1.65	5
GRN	216041_x_at	1.20	2.30	0.53	0.23	1.77	2.06	5
CTNND1	208407_s_at	2.40	1.78	0.02	0.06	1.76	1.72	5
AD-017	218147_s_at	1.05	1.79	0.06	0.02	1.74	1.77	5
MOSPD1	218853_s_at	1.32	1.72	0.03	0.13	1.69	1.59	5
NFYC	202216_x_at	1.05	1.78	0.09	0.06	1.69	1.72	5
CCNG2	202769_at	4.39	2.57	0.88	0.37	1.68	2.19	5
KCNN3	205903_s_at	2.35	1.67	0.02	0.13	1.65	1.54	5
BSCL2	208906_at	1.52	1.69	0.05	0.13	1.64	1.56	5
TNFAIP3	202643_s_at	1.49	2.04	0.40	0.34	1.64	1.71	5
ZNF273	215239_x_at	1.86	2.08	0.44	0.59	1.64	1.49	5
AKAP9	210962_s_at	0.97	1.77	0.13	0.08	1.63	1.68	5
DBT	205369_x_at	1.26	2.73	1.10	0.60	1.63	2.13	5
PLA1A	219584_at	1.89	1.74	0.12	0.07	1.62	1.68	5
CFLAR	208485_x_at	1.10	1.66	0.04	0.08	1.62	1.58	5
NEK1	213331_s_at	0.97	2.10	0.51	0.58	1.59	1.52	5
NFYC	202215_s_at	1.05	1.64	0.05	0.06	1.59	1.58	5
OSBPL3	209626_s_at	1.50	2.47	0.89	0.06	1.58	2.41	5
HSU79266	205449_at	0.90	1.63	0.05	0.09	1.57	1.54	5
GGT1	209919_x_at	1.86	1.66	0.09	0.12	1.57	1.54	5
ITPR2	202662_s_at	0.96	1.57	0.01	0.08	1.56	1.50	5
STAT1	200887_s_at	1.41	1.75	0.19	0.01	1.56	1.73	5
PPP1R15A	202014_at	1.08	1.98	0.43	0.32	1.56	1.66	5
IFNG	210354_at	2.49	1.69	0.14	0.63	1.56	1.06	5
FBN1	202766_s_at	1.34	1.69	0.14	0.10	1.55	1.59	5
DDR1	210749_x_at	1.17	1.69	0.17	0.09	1.52	1.60	5
S100A13	202598_at	1.53	1.94	0.43	0.44	1.51	1.50	5
M11167	r2-Hs28SrRNA-M_at	0.93	1.67	0.17	0.07	1.50	1.60	5
ZNF175	205497_at	1.16	1.84	0.34	0.35	1.50	1.49	5
CHRNA6	207568_at	0.78	1.56	0.07	0.03	1.49	1.53	5
CCDC2	219174_at	1.02	1.85	0.37	0.08	1.47	1.77	5
NUP160	214962_s_at	0.90	2.02	0.55	0.07	1.47	1.95	5
C18ORF1	209574_s_at	1.21	1.55	0.09	0.08	1.46	1.47	5
CD44	212063_at	1.88	1.58	0.12	0.06	1.46	1.52	5
C18ORF25	217508_s_at	0.89	1.51	0.07	0.04	1.44	1.47	5
NR3C1	216321_s_at	1.23	1.62	0.18	0.03	1.44	1.58	5
C18ORF9	52285_f_at	0.93	1.58	0.14	0.01	1.44	1.57	5
TNN	215271_at	1.40	1.79	0.36	0.04	1.43	1.75	5

KLK1	216699_s_at	1.06	1.54	0.12	0.09	1.42	1.45	5
SPATA7	219583_s_at	0.75	1.63	0.21	0.24	1.41	1.38	5
MAP4K4	206571_s_at	0.77	1.57	0.16	0.03	1.40	1.54	5
AK056657	212800_at	1.27	1.91	0.51	0.04	1.39	1.87	5
GGT1	211417_x_at	1.26	1.42	0.04	0.14	1.38	1.28	5
TCF12	208986_at	3.61	1.76	0.38	0.27	1.38	1.49	5
AV704232	215128_at	1.13	1.79	0.42	0.26	1.37	1.53	5
TRIP6	209129_at	0.78	1.36	0.01	0.09	1.35	1.27	5
IFI16	208966_x_at	1.18	1.50	0.17	0.19	1.33	1.31	5
SERPINE1	202628_s_at	1.01	1.47	0.14	0.08	1.32	1.39	5
BAMBI	203304_at	2.02	1.66	0.35	0.25	1.31	1.41	5
WBP4	203599_s_at	0.88	1.83	0.54	0.39	1.29	1.44	5
KIAA0643	204576_s_at	0.81	1.52	0.25	0.27	1.27	1.25	5
RIOK3	202131_s_at	1.24	1.51	0.25	0.17	1.26	1.34	5
UFM1	218050_at	1.17	1.54	0.29	0.24	1.25	1.30	5
BX641020	212614_at	1.47	1.57	0.32	0.14	1.25	1.43	5
CCL22	207861_at	0.93	1.30	0.05	0.00	1.25	1.30	5
ZNF217	203739_at	1.42	1.35	0.11	0.34	1.25	1.01	5
ASCC1	219336_s_at	1.23	1.55	0.31	0.23	1.24	1.32	5
NCOA3	207700_s_at	2.67	1.73	0.52	0.03	1.21	1.70	5
LAPTM5	201721_s_at	1.30	1.30	0.09	0.03	1.20	1.27	5
SIL1	218436_at	1.39	1.33	0.13	0.03	1.20	1.30	5
SLC7A6	203578_s_at	1.37	1.30	0.11	0.13	1.19	1.17	5
KIAA0052	215805_at	0.97	1.86	0.66	0.12	1.19	1.73	5
TRIB3	218145_at	1.28	1.32	0.13	0.17	1.19	1.15	5
CASP1	209970_x_at	0.82	1.18	0.01	0.16	1.16	1.02	5
C9ORF99	209513_s_at	0.96	1.22	0.06	0.28	1.16	0.94	5
AI537887	201060_x_at	1.76	1.46	0.31	0.03	1.15	1.44	5
MR1	207566_at	0.89	1.25	0.10	0.12	1.15	1.13	5
ETHE1	204034_at	1.02	1.32	0.17	0.04	1.15	1.28	5
GFPT1	202722_s_at	0.99	1.50	0.36	0.08	1.14	1.42	5
GCC2	202832_at	0.89	1.34	0.20	0.08	1.14	1.26	5
F5	204713_s_at	0.92	1.21	0.10	0.02	1.12	1.20	5
DPYSL2	200762_at	1.12	1.36	0.25	0.20	1.12	1.16	5
CGI-40	218765_at	0.89	1.49	0.39	0.17	1.09	1.32	5
STARD5	213820_s_at	0.87	1.45	0.36	0.05	1.09	1.39	5
CTNND1	208862_s_at	1.16	1.10	0.03	0.07	1.08	1.04	5
RNF14	201824_at	1.14	1.50	0.43	0.35	1.08	1.15	5
RASSF3	212870_at	1.76	1.48	0.40	0.19	1.08	1.29	5
ARFGEF2	218098_at	1.02	1.12	0.04	0.12	1.08	1.00	5
SARS	200802_at	0.75	1.14	0.07	0.14	1.07	1.00	5
CD44	209835_x_at	2.20	1.30	0.24	0.01	1.07	1.29	5
CFLAR	211317_s_at	1.42	1.28	0.22	0.08	1.06	1.20	5
SOS2	211665_s_at	1.03	1.75	0.69	0.11	1.06	1.64	5
DNAJB2	202500_at	0.94	1.11	0.07	0.06	1.05	1.05	5
BCL2	203685_at	1.46	1.14	0.09	0.02	1.05	1.11	5

HMOX1	203665_at	0.86	1.11	0.07	0.09	1.05	1.03	5
SAMSN1	220330_s_at	1.77	1.10	0.06	0.21	1.04	0.89	5
MAP1LC3B	208786_s_at	1.22	1.48	0.44	0.29	1.04	1.19	5
RAFTLIN	212646_at	1.00	1.19	0.16	0.04	1.03	1.15	5
TNFAIP3	202644_s_at	0.95	1.19	0.16	0.09	1.03	1.10	5
TRPV2	219282_s_at	0.99	1.32	0.30	0.15	1.02	1.18	5
UTX	203990_s_at	0.88	1.49	0.48	0.37	1.01	1.11	5
ANXA4	201302_at	1.48	1.23	0.23	0.03	1.00	1.21	5
BC063432	209670_at	1.41	1.68	0.68	0.22	1.00	1.45	5
STC2	203438_at	0.86	1.12	0.12	0.24	1.00	0.87	5
CARF	218929_at	0.96	1.58	0.59	0.26	0.99	1.32	5
CTF1	206813_at	0.95	1.26	0.26	0.55	0.99	0.70	5
NCF1	204961_s_at	1.17	1.22	0.23	0.42	0.99	0.80	5
MSRB	218773_s_at	1.43	1.11	0.15	0.22	0.96	0.89	5
SDCCAG1	218649_x_at	0.84	1.21	0.25	0.05	0.96	1.16	5
BC063432	211902_x_at	1.43	1.03	0.08	0.20	0.94	0.82	5
BC059410	213532_at	1.01	1.37	0.43	0.11	0.93	1.26	5
AB020633	212546_s_at	1.62	1.70	0.79	0.35	0.90	1.35	5
CFLAR	211316_x_at	0.95	0.99	0.09	0.00	0.90	0.99	5
TWSG1	219201_s_at	0.83	1.08	0.19	0.10	0.89	0.98	5
D50917	202657_s_at	0.78	0.98	0.10	0.06	0.89	0.93	5
GATM	203178_at	0.49	0.99	0.11	0.06	0.88	0.93	5
LRMP	35974_at	1.52	1.25	0.37	0.06	0.88	1.19	5
LGALS9	203236_s_at	0.88	0.91	0.04	0.02	0.87	0.89	5
DUSP10	221563_at	2.06	0.93	0.08	0.03	0.86	0.91	5
CTNND1	211240_x_at	0.81	0.88	0.03	0.01	0.85	0.87	5
DTNB	215565_at	1.56	0.90	0.06	0.31	0.84	0.60	5
FLJ13072	215356_at	1.16	0.89	0.05	0.20	0.84	0.69	5
PPP1R12A	201603_at	1.04	1.11	0.28	0.03	0.83	1.09	5
TPCN1	217914_at	0.91	0.94	0.12	0.14	0.83	0.80	5
NCF2	209949_at	1.43	0.95	0.13	0.04	0.82	0.91	5
EHD1	222221_x_at	1.53	1.44	0.62	0.36	0.81	1.08	5
TCFL4	213951_s_at	1.03	1.06	0.24	0.40	0.81	0.66	5
TK1	202338_at	0.74	1.39	0.60	0.60	0.79	0.79	5
ETNK1	219017_at	1.09	1.09	0.30	0.06	0.79	1.03	5
STAT1	M97935_MB_at	2.10	1.05	0.27	0.05	0.79	1.00	5
CYFIP2	220999_s_at	0.80	1.35	0.56	0.33	0.79	1.02	5
PRG1	201858_s_at	0.84	0.90	0.13	0.14	0.77	0.76	5
TUSC2	203272_s_at	0.74	0.95	0.19	0.30	0.76	0.66	5
FLJ21439	203513_at	0.98	1.09	0.33	0.15	0.76	0.95	5
HIST1H4A	208046_at	1.53	0.92	0.16	0.11	0.75	0.81	5
RASSF4	49306_at	1.23	0.96	0.22	0.06	0.74	0.90	5
PDCD4	212593_s_at	1.10	1.35	0.60	0.13	0.74	1.21	5
IL1R2	211372_s_at	1.12	0.81	0.07	0.34	0.74	0.47	5
TUBB	204141_at	0.95	1.14	0.42	0.01	0.72	1.13	5

PELI1	218319_at	1.14	1.00	0.28	0.15	0.72	0.85	5
PCAF	203845_at	2.39	0.91	0.19	0.11	0.72	0.79	5
AB033066	213387_at	0.75	1.17	0.46	0.07	0.71	1.10	5
ARHE	212724_at	1.13	0.93	0.22	0.37	0.71	0.56	5
MMP7	204259_at	0.96	0.91	0.20	0.06	0.71	0.85	5
ABI1	209027_s_at	1.34	1.15	0.44	0.22	0.71	0.92	5
PHIP	212542_s_at	1.09	0.97	0.28	0.35	0.69	0.62	5
PLD3	201050_at	0.86	0.87	0.19	0.12	0.69	0.75	5
TBC1D8	200962_at	0.63	1.02	0.34	0.23	0.68	0.79	5
SH3BGRL3	221269_s_at	0.78	0.85	0.17	0.21	0.68	0.64	5
EPS8	202609_at	0.81	0.77	0.09	0.04	0.68	0.73	5
ZNF161	202171_at	0.87	0.79	0.11	0.08	0.68	0.70	5
CG018	217197_x_at	0.93	0.69	0.01	0.02	0.68	0.67	5
EHD1	208112_x_at	0.75	0.96	0.29	0.21	0.67	0.75	5
CGI-26	218102_at	0.75	0.70	0.04	0.10	0.66	0.60	5
TERF1	203448_s_at	0.96	1.04	0.38	0.31	0.66	0.73	5
KIAA0893	203855_at	0.79	0.69	0.04	0.05	0.66	0.64	5
F11R	221664_s_at	0.74	0.69	0.05	0.03	0.64	0.66	5
NAGK	218231_at	0.86	0.99	0.35	0.10	0.64	0.89	5
FLJ10287	219130_at	0.90	1.10	0.48	0.01	0.63	1.10	5
ZFYVE16	203651_at	1.62	0.93	0.31	0.06	0.62	0.87	5
POT1	204354_at	0.98	1.11	0.50	0.08	0.62	1.03	5
AK056657	212799_at	0.81	0.94	0.33	0.04	0.61	0.91	5
BC063432	210972_x_at	0.86	0.77	0.16	0.09	0.61	0.67	5
ADAM10	214895_s_at	0.85	0.72	0.12	0.02	0.61	0.71	5
JWA	200761_s_at	0.71	0.89	0.28	0.17	0.60	0.71	5
CAPG	201850_at	1.14	0.69	0.09	0.08	0.60	0.61	5
NCOA3	211352_s_at	0.76	0.76	0.17	0.14	0.59	0.62	5
RGS3	203823_at	0.79	0.83	0.25	0.10	0.59	0.73	5
AI201594	43511_s_at	0.75	0.69	0.11	0.16	0.58	0.53	5
ATP10D	213238_at	1.19	0.88	0.31	0.25	0.58	0.63	5
SMARCA2	212257_s_at	1.20	0.70	0.13	0.07	0.57	0.63	5
JAG1	209098_s_at	0.78	0.58	0.01	0.03	0.57	0.55	5
SCAP2	216899_s_at	0.75	0.75	0.18	0.21	0.56	0.54	5
SLC30A3	207035_at	0.91	0.60	0.04	0.02	0.56	0.58	5
APAF1	204859_s_at	1.37	0.66	0.12	0.18	0.54	0.49	5
ANXA4	201301_s_at	1.32	0.57	0.04	0.03	0.52	0.54	5
ID2	201565_s_at	1.39	0.54	0.03	0.18	0.51	0.36	5
IL6ST	212195_at	0.79	0.87	0.37	0.08	0.51	0.80	5
ZCWCC1	203956_at	0.86	0.92	0.41	0.40	0.51	0.52	5
ISGF3G	203882_at	0.79	0.53	0.03	0.03	0.50	0.50	5
CYLD	213295_at	0.93	0.91	0.41	0.10	0.50	0.81	5
ZNF267	219540_at	1.10	0.67	0.17	0.03	0.49	0.64	5
LIM	203242_s_at	0.69	0.77	0.28	0.06	0.49	0.71	5
ZFP36L1	211962_s_at	0.75	0.60	0.12	0.07	0.48	0.53	5
GAS7	211067_s_at	0.77	0.62	0.15	0.13	0.47	0.49	5

BC063432	209671_x_at	1.12	0.54	0.08	0.22	0.46	0.32	5
RNPEP	208270_s_at	0.73	0.62	0.17	0.12	0.45	0.50	5
ICAM3	204949_at	0.81	0.48	0.04	0.03	0.45	0.46	5
ATM	212672_at	0.79	0.52	0.08	0.07	0.44	0.45	5
LGALS3BP	200923_at	0.71	0.51	0.07	0.23	0.44	0.29	5
EFTUD1	218973_at	0.77	0.72	0.29	0.30	0.44	0.43	5
STK17A	202693_s_at	0.94	0.55	0.13	0.02	0.42	0.52	5
AKAP2	202760_s_at	0.75	0.60	0.20	0.16	0.40	0.44	5
C5	205500_at	0.71	0.42	0.04	0.18	0.38	0.24	5
DUSP5	209457_at	1.64	0.58	0.20	0.15	0.38	0.43	5
CD44	212014_x_at	1.01	0.49	0.12	0.24	0.37	0.26	5
WSB1	201295_s_at	-0.35	0.36	0.02	0.03	0.34	0.33	5
RC3	212820_at	0.93	0.43	0.10	0.15	0.33	0.28	5
BCL2A1	205681_at	0.78	0.47	0.15	0.11	0.32	0.36	5
CCNG2	211559_s_at	2.30	0.61	0.29	0.02	0.32	0.58	5
CAMP	210244_at	0.83	0.42	0.10	0.14	0.31	0.27	5
SEC15L2	215417_at	1.08	0.55	0.25	0.17	0.31	0.38	5
HTATIP2	209448_at	0.74	0.50	0.22	0.02	0.27	0.48	5
MRPS6	213164_at	0.68	0.43	0.16	0.16	0.27	0.27	5
NT5E	203939_at	1.03	0.33	0.08	0.11	0.25	0.22	5
UBE1C	209115_at	0.74	0.46	0.22	0.16	0.25	0.30	5
AB018337	212840_at	0.84	0.42	0.19	0.12	0.23	0.30	5
SDCBP	200958_s_at	0.73	0.30	0.10	0.03	0.20	0.27	5
CYP2F1	207913_at	0.88	0.23	0.06	0.08	0.17	0.15	5
GDF15	221577_x_at	1315.66	1883.94	0.33	2.07	1883.61	1881.86	6

Supplemental Table 3. Association of p53-dependent gene expression in apoptosis with chemotherapy response in children with B-lineage ALL, sorted by TEC (n=145 patients). Gene name and Affymetrix Probe ID are listed for each of the 747 genes. The association of differential expression for each gene with response to each of the four drugs tested was assessed by a one-sided Wilcoxon signed-rank test (see methods, above). The *P*-value of association for each gene is presented after correction for multiple testing. Whether the gene is induced or repressed in samples sensitive to the drug is indicated by UP (induced) or DN (repressed). Abbreviations used are as follows: ASP (asparaginase); DNR (daunorubicin); PRED (prednisolone); VCR (vincristine).

Cluster	Gene	Probe	ASP	DNR	PRED	VCR	ASP	DNR	PRED	VCR
1	WIG1	219628_at	0.155	0.230	0.036	0.006	-	-	UP	UP
1	CSTA	204971_at	0.000	0.045	0.087	0.014	DN	DN	-	UP
1	DDB2	203409_at	0.431	0.440	0.397	0.029	-	-	-	UP
1	JAG1	216268_s_at	0.110	0.049	0.008	0.028	-	UP	UP	DN
1	MDM2	217373_x_at	0.002	0.014	0.189	0.015	UP	UP	-	DN
1	FUCA1	202838_at	0.003	0.251	0.364	0.000	UP	-	-	DN
1	MGC5370	217542_at	0.214	0.398	0.202	0.043	-	-	-	DN
1	TRIM22	213293_s_at	0.074	0.030	0.034	0.477	-	UP	UP	-
1	MR1	207565_s_at	0.005	0.082	0.021	0.291	UP	-	UP	-
1	ID2	213931_at	0.366	0.003	0.003	0.073	-	DN	DN	-
1	SAT	203455_s_at	0.026	0.054	0.001	0.157	UP	-	DN	-
1	PPM1D	204566_at	0.104	0.024	0.164	0.474	-	UP	-	-
1	GADD45A	203725_at	0.431	0.036	0.227	0.471	-	DN	-	-
1	TP53I3	210609_s_at	0.040	0.266	0.234	0.420	UP	-	-	-
1	CDKN1A	202284_s_at	0.008	0.220	0.425	0.397	UP	-	-	-
1	ENC1	201340_s_at	0.366	0.356	0.202	0.102	-	-	-	-
1	ASTN2	215407_s_at	0.376	0.151	0.288	0.195	-	-	-	-
2	ATF3	202672_s_at	0.003	0.014	0.104	0.019	DN	DN	-	UP
2	GM2A	215891_s_at	0.068	0.011	0.238	0.001	-	DN	-	UP
2	DDIT4	202887_s_at	0.302	0.034	0.075	0.017	-	DN	-	UP
2	TP53AP1	210886_x_at	0.001	0.480	0.141	0.046	DN	-	-	UP
2	SOX4	201416_at	0.117	0.125	0.397	0.018	-	-	-	UP
2	RPS27L	218007_s_at	0.194	0.374	0.333	0.020	-	-	-	UP
2	RGS16	209324_s_at	0.077	0.101	0.209	0.034	-	-	-	UP
2	INHBE	210587_at	0.484	0.491	0.185	0.022	-	-	-	UP
2	PRO0297	213375_s_at	0.078	0.028	0.046	0.021	-	DN	DN	DN
2	FLJ11259	218627_at	0.081	0.279	0.002	0.020	-	-	DN	DN
2	CLK4	210346_s_at	0.055	0.016	0.229	0.039	-	UP	-	DN
2	RDX	212397_at	0.143	0.069	0.456	0.004	-	-	-	DN
2	MRPS6	212944_at	0.142	0.156	0.057	0.005	-	-	-	DN
2	ANKRA2	218769_s_at	0.197	0.175	0.168	0.046	-	-	-	DN
2	TAX1BP3	215464_s_at	0.226	0.049	0.001	0.079	-	UP	UP	-
2	ZNF195	204234_s_at	0.309	0.224	0.016	0.138	-	-	UP	-
2	MR1	210223_s_at	0.341	0.180	0.006	0.344	-	-	UP	-
2	CPT2	204264_at	0.230	0.133	0.008	0.483	-	-	UP	-
2	PDE4B	203708_at	0.139	0.003	0.000	0.171	-	DN	DN	-
2	CEBPB	212501_at	0.465	0.049	0.004	0.054	-	DN	DN	-

2	ATRX	208859_s_at	0.215	0.026	0.047	0.217	-	DN	DN	-
2	ABCA12	215465_at	0.053	0.031	0.002	0.173	-	DN	DN	-
2	SAT	213988_s_at	0.037	0.147	0.027	0.437	UP	-	DN	-
2	SAT	210592_s_at	0.024	0.060	0.024	0.440	UP	-	DN	-
2	SLC31A2	204204_at	0.102	0.483	0.028	0.171	-	-	DN	-
2	PTPN13	204201_s_at	0.143	0.205	0.048	0.372	-	-	DN	-
2	NEDD9	202149_at	0.177	0.341	0.033	0.411	-	-	DN	-
2	CYP4F3	206515_at	0.236	0.495	0.029	0.308	-	-	DN	-
2	BTG1	200921_s_at	0.473	0.306	0.021	0.383	-	-	DN	-
2	AL049985	215507_x_at	0.474	0.205	0.010	0.348	-	-	DN	-
2	AK022363	215858_at	0.361	0.489	0.030	0.053	-	-	DN	-
2	JAG1	209099_x_at	0.038	0.021	0.238	0.055	UP	UP	-	-
2	XCL2	214567_s_at	0.431	0.026	0.387	0.391	-	UP	-	-
2	P8	209230_s_at	0.254	0.020	0.206	0.491	-	UP	-	-
2	TNFRSF17	206641_at	0.001	0.032	0.369	0.208	DN	DN	-	-
2	IL1R2	205403_at	0.162	0.015	0.179	0.414	-	DN	-	-
2	IBRDC3	213038_at	0.273	0.041	0.141	0.367	-	DN	-	-
2	BC001131	210387_at	0.178	0.043	0.075	0.308	-	DN	-	-
2	APOBEC3G	204205_at	0.391	0.011	0.146	0.460	-	DN	-	-
2	TNFSF9	206907_at	0.043	0.254	0.254	0.068	UP	-	-	-
2	PTPRE	221840_at	0.000	0.269	0.257	0.116	UP	-	-	-
2	PMAIP1	204286_s_at	0.042	0.143	0.106	0.308	UP	-	-	-
2	HIST1H2BB	208547_at	0.033	0.465	0.195	0.208	UP	-	-	-
2	GPR109B	205220_at	0.005	0.185	0.080	0.488	UP	-	-	-
2	XCL1	206366_x_at	0.017	0.059	0.286	0.391	DN	-	-	-
2	TFDP2	203589_s_at	0.026	0.147	0.290	0.445	DN	-	-	-
2	PPP1CB	201407_s_at	0.033	0.167	0.223	0.157	DN	-	-	-
2	CGI-40	56256_at	0.007	0.279	0.351	0.064	DN	-	-	-
2	APOBEC3F	214995_s_at	0.050	0.130	0.189	0.092	DN	-	-	-
2	VAMP8	202546_at	0.062	0.354	0.411	0.236	-	-	-	-
2	TP53AP1	209917_s_at	0.167	0.342	0.360	0.064	-	-	-	-
2	TNFRSF6	216252_x_at	0.257	0.327	0.488	0.117	-	-	-	-
2	TNFRSF6	215719_x_at	0.065	0.277	0.167	0.249	-	-	-	-
2	TM7SF3	217974_at	0.163	0.298	0.498	0.437	-	-	-	-
2	TIEG	202393_s_at	0.419	0.145	0.498	0.192	-	-	-	-
2	STK4	211085_s_at	0.061	0.398	0.152	0.073	-	-	-	-
2	SMUG1	218685_s_at	0.328	0.085	0.298	0.317	-	-	-	-
2	SESN1	218346_s_at	0.108	0.256	0.324	0.054	-	-	-	-
2	ROD1	214697_s_at	0.070	0.082	0.242	0.474	-	-	-	-
2	RIOK3	202130_at	0.152	0.123	0.075	0.383	-	-	-	-
2	RIOK3	202129_s_at	0.178	0.309	0.406	0.117	-	-	-	-
2	RGS16	209325_s_at	0.335	0.067	0.149	0.117	-	-	-	-
2	PSPH	205048_s_at	0.482	0.210	0.444	0.107	-	-	-	-
2	PSPH	205194_at	0.265	0.392	0.282	0.434	-	-	-	-
2	PPL	203407_at	0.434	0.349	0.179	0.118	-	-	-	-
2	PIG8	203491_s_at	0.171	0.205	0.392	0.171	-	-	-	-
2	PBXIP1	214177_s_at	0.165	0.152	0.097	0.082	-	-	-	-
2	OAS1	205552_s_at	0.421	0.413	0.430	0.345	-	-	-	-
2	MYO5A	204527_at	0.203	0.437	0.298	0.184	-	-	-	-
2	MR1	210224_at	0.496	0.125	0.091	0.223	-	-	-	-

2	MIRAB13	55081_at	0.236	0.070	0.328	0.483	-	-	-	-
2	MDS025	218288_s_at	0.201	0.133	0.320	0.112	-	-	-	-
2	MDM2	205386_s_at	0.347	0.076	0.158	0.073	-	-	-	-
2	MAP3K7IP2	212184_s_at	0.231	0.110	0.328	0.306	-	-	-	-
2	LPXN	216250_s_at	0.417	0.150	0.435	0.288	-	-	-	-
2	IBRDC3	36564_at	0.309	0.105	0.106	0.457	-	-	-	-
2	HNRPD	213359_at	0.496	0.232	0.055	0.248	-	-	-	-
2	HES1	203394_s_at	0.187	0.413	0.406	0.242	-	-	-	-
2	HEMK1	218621_at	0.170	0.309	0.059	0.303	-	-	-	-
2	GPM6A	209470_s_at	0.132	0.125	0.234	0.128	-	-	-	-
2	GPM6A	209469_at	0.282	0.474	0.444	0.397	-	-	-	-
2	FTHFD	205208_at	0.226	0.428	0.320	0.094	-	-	-	-
2	FLJ12994	218430_s_at	0.137	0.295	0.383	0.082	-	-	-	-
2	FDXR	207813_s_at	0.292	0.227	0.406	0.167	-	-	-	-
2	F2R	203989_x_at	0.159	0.351	0.284	0.139	-	-	-	-
2	ENC1	201341_at	0.248	0.483	0.146	0.079	-	-	-	-
2	CYP4F2	210452_x_at	0.149	0.437	0.204	0.246	-	-	-	-
2	CTH	217127_at	0.376	0.440	0.246	0.168	-	-	-	-
2	CHD9	212616_at	0.284	0.380	0.430	0.052	-	-	-	-
2	CEACAM1	209498_at	0.468	0.371	0.265	0.418	-	-	-	-
2	C12ORF5	219099_at	0.473	0.147	0.087	0.206	-	-	-	-
2	BTG2	201236_s_at	0.442	0.101	0.369	0.334	-	-	-	-
2	BAX	208478_s_at	0.289	0.158	0.449	0.239	-	-	-	-
2	ASCC3	212815_at	0.214	0.446	0.223	0.281	-	-	-	-
2	ARID4B	221230_s_at	0.289	0.251	0.192	0.204	-	-	-	-
2	ARHGEF6	209539_at	0.070	0.314	0.257	0.462	-	-	-	-
2	APOBEC3B	206632_s_at	0.223	0.298	0.425	0.327	-	-	-	-
2	AIM1L	220289_s_at	0.107	0.177	0.209	0.162	-	-	-	-
2	ADA	216705_s_at	0.421	0.177	0.095	0.173	-	-	-	-
2	ADA	204639_at	0.177	0.218	0.143	0.145	-	-	-	-
3	DHX9	212107_s_at	0.048	0.005	0.006	0.015	UP	UP	UP	UP
3	TM4SF1	215033_at	0.367	0.028	0.346	0.025	-	UP	-	UP
3	U92992	217380_s_at	0.446	0.027	0.252	0.015	-	DN	-	UP
3	ITGA4	205885_s_at	0.038	0.339	0.176	0.002	DN	-	-	UP
3	AF173894	214890_s_at	0.345	0.099	0.290	0.000	-	-	-	UP
3	AF119867	220699_s_at	0.431	0.264	0.209	0.011	-	-	-	UP
3	NEXN	212847_at	0.337	0.127	0.045	0.001	-	-	UP	DN
3	CDC14B	221556_at	0.493	0.030	0.033	0.037	-	DN	DN	DN
3	DFNB31	47553_at	0.358	0.220	0.019	0.032	-	-	DN	DN
3	CRISP2	210262_at	0.280	0.045	0.342	0.020	-	UP	-	DN
3	PECAM1	208981_at	0.001	0.351	0.223	0.044	UP	-	-	DN
3	CYP3A5	214234_s_at	0.019	0.171	0.425	0.036	DN	-	-	DN
3	TRIM31	208170_s_at	0.218	0.185	0.401	0.040	-	-	-	DN
3	TM4SF13	217979_at	0.067	0.486	0.473	0.007	-	-	-	DN
3	PAIP1	209064_x_at	0.289	0.096	0.133	0.003	-	-	-	DN
3	MMP12	204580_at	0.483	0.446	0.406	0.005	-	-	-	DN
3	GALNAC4S-6ST	203066_at	0.246	0.292	0.076	0.011	-	-	-	DN
3	BX640898	213025_at	0.185	0.486	0.130	0.009	-	-	-	DN
3	AF034187	216727_at	0.133	0.154	0.242	0.003	-	-	-	DN
3	11-Sep	214293_at	0.165	0.138	0.055	0.032	-	-	-	DN

3	BC053675	209754_s_at	0.025	0.011	0.037	0.186	UP	UP	UP	-
3	ARHGDI1	213606_s_at	0.021	0.001	0.003	0.281	UP	UP	UP	-
3	C20ORF45	217851_s_at	0.146	0.027	0.014	0.075	-	UP	UP	-
3	SPO11	222259_s_at	0.006	0.167	0.022	0.379	UP	-	UP	-
3	HMGNA4	209786_at	0.008	0.127	0.021	0.397	UP	-	UP	-
3	SPC25	209891_at	0.465	0.124	0.016	0.298	-	-	UP	-
3	GPC4	204984_at	0.321	0.175	0.001	0.101	-	-	UP	-
3	ANP32E	208103_s_at	0.242	0.285	0.005	0.342	-	-	UP	-
3	PTHLH	206300_s_at	0.199	0.004	0.016	0.053	-	DN	DN	-
3	UGCG	221765_at	0.047	0.309	0.004	0.213	UP	-	DN	-
3	GABRA5	215531_s_at	0.152	0.117	0.043	0.500	-	-	DN	-
3	JMJD1C	221763_at	0.044	0.001	0.387	0.190	UP	UP	-	-
3	AF070571	214985_at	0.021	0.035	0.070	0.120	UP	UP	-	-
3	MGC34132	221935_s_at	0.403	0.039	0.333	0.311	-	UP	-	-
3	YEATS2	221203_s_at	0.005	0.030	0.213	0.332	DN	DN	-	-
3	TCF7L2	216035_x_at	0.002	0.179	0.430	0.140	UP	-	-	-
3	TUBGCP3	203690_at	0.038	0.477	0.213	0.060	DN	-	-	-
3	SYCP1	216917_s_at	0.016	0.365	0.488	0.096	DN	-	-	-
3	PARC	213204_at	0.021	0.089	0.254	0.380	DN	-	-	-
3	C10ORF137	215072_x_at	0.045	0.172	0.176	0.138	DN	-	-	-
3	AF308291	216812_at	0.028	0.117	0.149	0.500	DN	-	-	-
3	ZNF85	206572_x_at	0.165	0.150	0.206	0.108	-	-	-	-
3	X04603	AFFX-r2-Bs-thr-M_s_at	0.230	0.342	0.360	0.394	-	-	-	-
3	UGT1A8	221305_s_at	0.108	0.455	0.152	0.252	-	-	-	-
3	TLE1	215802_at	0.162	0.492	0.120	0.457	-	-	-	-
3	STAM2	209649_at	0.391	0.404	0.108	0.204	-	-	-	-
3	SMC5L1	212927_at	0.059	0.078	0.152	0.267	-	-	-	-
3	SLC7A1	206566_at	0.273	0.232	0.328	0.060	-	-	-	-
3	SLC4A7	209884_s_at	0.097	0.251	0.143	0.301	-	-	-	-
3	SIX3	206634_at	0.439	0.374	0.493	0.301	-	-	-	-
3	SERPINB7	206421_s_at	0.051	0.480	0.149	0.110	-	-	-	-
3	PROS1	207808_s_at	0.154	0.236	0.454	0.252	-	-	-	-
3	PRKAA2	207709_at	0.281	0.483	0.416	0.342	-	-	-	-
3	OR2F1	217302_at	0.304	0.209	0.397	0.457	-	-	-	-
3	NM_024879	220436_at	0.238	0.386	0.286	0.369	-	-	-	-
3	MMP16	208166_at	0.437	0.469	0.342	0.350	-	-	-	-
3	MGP	202291_s_at	0.240	0.457	0.105	0.119	-	-	-	-
3	L22650	217246_s_at	0.052	0.109	0.195	0.422	-	-	-	-
3	KTN1	200914_x_at	0.067	0.428	0.155	0.230	-	-	-	-
3	KELCHL1	222141_at	0.228	0.342	0.211	0.474	-	-	-	-
3	ITGB1	216178_x_at	0.201	0.339	0.290	0.051	-	-	-	-
3	HRASLS	219983_at	0.426	0.461	0.383	0.196	-	-	-	-
3	HMMR	207165_at	0.152	0.407	0.113	0.257	-	-	-	-
3	HIST1H1B	214534_at	0.267	0.440	0.351	0.262	-	-	-	-
3	GTF2I	210892_s_at	0.429	0.256	0.062	0.293	-	-	-	-
3	GPR22	221288_at	0.130	0.114	0.065	0.181	-	-	-	-
3	GPR135	217641_at	0.304	0.075	0.071	0.110	-	-	-	-
3	GLYAT	206930_at	0.388	0.471	0.102	0.391	-	-	-	-
3	FLJ14084	219685_at	0.359	0.274	0.298	0.348	-	-	-	-

3	FLJ11795	220112_at	0.239	0.147	0.392	0.337	-	-	-	-
3	FLJ10407	218073_s_at	0.302	0.414	0.108	0.215	-	-	-	-
3	EPAS1	200879_s_at	0.490	0.303	0.248	0.208	-	-	-	-
3	ELYS	214766_s_at	0.182	0.060	0.468	0.359	-	-	-	-
3	ELKS	216440_at	0.124	0.492	0.216	0.494	-	-	-	-
3	EIF1AX	201016_at	0.496	0.227	0.435	0.162	-	-	-	-
3	ECT2	219787_s_at	0.383	0.065	0.369	0.083	-	-	-	-
3	EBAG9	204274_at	0.297	0.242	0.095	0.122	-	-	-	-
3	DLX4	210259_s_at	0.319	0.407	0.404	0.264	-	-	-	-
3	DDX3X	212514_x_at	0.194	0.123	0.118	0.257	-	-	-	-
3	CYP2R1	207786_at	0.402	0.152	0.133	0.138	-	-	-	-
3	CLECSF6	219947_at	0.348	0.344	0.296	0.346	-	-	-	-
3	CENPA	204962_s_at	0.073	0.113	0.242	0.269	-	-	-	-
3	BE045142	217715_x_at	0.089	0.162	0.102	0.059	-	-	-	-
3	AU145203	216067_at	0.256	0.336	0.199	0.324	-	-	-	-
3	AL109696	215311_at	0.500	0.158	0.095	0.437	-	-	-	-
3	AK129777	211647_x_at	0.146	0.059	0.320	0.215	-	-	-	-
3	AK027172	216798_at	0.403	0.306	0.498	0.380	-	-	-	-
3	AI097640	213484_at	0.077	0.215	0.416	0.478	-	-	-	-
3	AE000659	217412_at	0.113	0.122	0.093	0.230	-	-	-	-
3	ACTL6A	202666_s_at	0.284	0.295	0.307	0.471	-	-	-	-
3	DEC1	220781_at	0.493	0.402	0.401	0.455	-	-	-	-
4	CCNA2	203418_at	0.009	0.022	0.009	0.050	UP	UP	UP	UP
4	CALR	200935_at	0.060	0.038	0.022	0.016	-	UP	UP	UP
4	CYBB	203923_s_at	0.160	0.120	0.024	0.040	-	-	UP	UP
4	SCARB2	201647_s_at	0.154	0.004	0.369	0.046	-	UP	-	UP
4	NFIB	209290_s_at	0.058	0.013	0.087	0.022	-	UP	-	UP
4	RREB1	216648_s_at	0.017	0.264	0.360	0.036	DN	-	-	UP
4	PA2G4	214794_at	0.026	0.149	0.220	0.003	DN	-	-	UP
4	FLJ22222	53071_s_at	0.007	0.264	0.383	0.015	DN	-	-	UP
4	SH3GL2	205751_at	0.240	0.186	0.392	0.027	-	-	-	UP
4	SFRS2	214882_s_at	0.304	0.306	0.397	0.028	-	-	-	UP
4	SCRG1	205475_at	0.283	0.209	0.056	0.046	-	-	-	UP
4	RORB	206443_at	0.331	0.227	0.220	0.045	-	-	-	UP
4	PDK4	205960_at	0.361	0.216	0.161	0.033	-	-	-	UP
4	PCDHA1	210674_s_at	0.220	0.063	0.238	0.029	-	-	-	UP
4	NRG2	206879_s_at	0.063	0.117	0.346	0.032	-	-	-	UP
4	NM_024856	220649_at	0.101	0.328	0.488	0.045	-	-	-	UP
4	HSPA14	219212_at	0.160	0.057	0.141	0.018	-	-	-	UP
4	HOXA2	214457_at	0.335	0.251	0.376	0.024	-	-	-	UP
4	HEBP1	218450_at	0.260	0.269	0.209	0.001	-	-	-	UP
4	EBAG9	204278_s_at	0.143	0.351	0.425	0.047	-	-	-	UP
4	COL4A3	216893_s_at	0.356	0.446	0.213	0.021	-	-	-	UP
4	AB007876	206408_at	0.145	0.416	0.476	0.016	-	-	-	UP
4	PRPF4B	211090_s_at	0.001	0.002	0.002	0.016	UP	UP	UP	DN
4	YES1	222180_at	0.209	0.477	0.010	0.000	-	-	DN	DN
4	BC063476	213459_at	0.210	0.051	0.007	0.009	-	-	DN	DN
4	ACSL3	201662_s_at	0.330	0.057	0.029	0.001	-	-	DN	DN
4	TOPORS	204071_s_at	0.093	0.012	0.435	0.024	-	UP	-	DN
4	HSF2	209657_s_at	0.184	0.025	0.302	0.007	-	UP	-	DN

4	SERPINB9	209723_at	0.002	0.133	0.071	0.009	UP	-	-	DN
4	SEH1L	221931_s_at	0.026	0.171	0.238	0.005	UP	-	-	DN
4	PRSS12	205515_at	0.010	0.356	0.444	0.006	UP	-	-	DN
4	EIF3S10	200597_at	0.038	0.246	0.360	0.003	UP	-	-	DN
4	DSC3	206032_at	0.020	0.181	0.369	0.006	UP	-	-	DN
4	BX248753	209388_at	0.012	0.186	0.176	0.002	UP	-	-	DN
4	ZBTB20	222357_at	0.388	0.354	0.085	0.012	-	-	-	DN
4	SCUBE2	219197_s_at	0.077	0.296	0.425	0.019	-	-	-	DN
4	RCN2	201486_at	0.088	0.259	0.459	0.004	-	-	-	DN
4	PPP1R16B	41577_at	0.381	0.428	0.095	0.046	-	-	-	DN
4	NM_016646	208154_at	0.347	0.093	0.170	0.044	-	-	-	DN
4	KIAA0555	205888_s_at	0.369	0.334	0.202	0.018	-	-	-	DN
4	KCNV2	217522_at	0.373	0.104	0.369	0.016	-	-	-	DN
4	ING1L	205981_s_at	0.081	0.082	0.464	0.009	-	-	-	DN
4	HNRPA3	211929_at	0.088	0.314	0.493	0.005	-	-	-	DN
4	EIF4E	201436_at	0.238	0.105	0.250	0.010	-	-	-	DN
4	DYRK1A	211079_s_at	0.135	0.317	0.311	0.008	-	-	-	DN
4	DSP	200606_at	0.067	0.091	0.464	0.003	-	-	-	DN
4	CUL4A	201424_s_at	0.391	0.246	0.199	0.019	-	-	-	DN
4	ASB1	212819_at	0.434	0.110	0.065	0.004	-	-	-	DN
4	AMIGO2	222108_at	0.286	0.167	0.416	0.001	-	-	-	DN
4	ADCY9	204497_at	0.307	0.052	0.387	0.042	-	-	-	DN
4	ACSL3	201660_at	0.171	0.386	0.104	0.035	-	-	-	DN
4	SMAD4	202527_s_at	0.001	0.005	0.005	0.059	UP	UP	UP	-
4	CYP2C9	214420_s_at	0.026	0.001	0.043	0.184	UP	UP	UP	-
4	ARL7	202206_at	0.042	0.030	0.001	0.497	UP	UP	UP	-
4	UBE2J1	217823_s_at	0.142	0.028	0.022	0.329	-	UP	UP	-
4	CTAG1B	217339_x_at	0.070	0.032	0.016	0.088	-	UP	UP	-
4	ARHGAP19	212738_at	0.190	0.003	0.011	0.184	-	UP	UP	-
4	ADCY6	216743_at	0.470	0.032	0.012	0.405	-	UP	UP	-
4	SNTG1	215964_at	0.041	0.060	0.032	0.263	UP	-	UP	-
4	PLK4	204887_s_at	0.017	0.118	0.046	0.460	UP	-	UP	-
4	BC053675	209753_s_at	0.015	0.113	0.001	0.264	UP	-	UP	-
4	CNOT3	203239_s_at	0.041	0.131	0.037	0.200	DN	-	UP	-
4	USP1	202412_s_at	0.314	0.131	0.038	0.162	-	-	UP	-
4	PRKRIR	209323_at	0.491	0.072	0.008	0.123	-	-	UP	-
4	MYH8	206717_at	0.465	0.127	0.040	0.283	-	-	UP	-
4	MSH6	211450_s_at	0.378	0.073	0.006	0.291	-	-	UP	-
4	MAZ	207824_s_at	0.361	0.072	0.000	0.168	-	-	UP	-
4	FAM12A	217568_at	0.444	0.401	0.011	0.264	-	-	UP	-
4	CHML	219032_x_at	0.288	0.265	0.001	0.055	-	-	UP	-
4	CHEK1	205393_s_at	0.152	0.071	0.011	0.104	-	-	UP	-
4	BCMO1	220087_at	0.460	0.495	0.033	0.405	-	-	UP	-
4	BC029660	212381_at	0.284	0.249	0.009	0.067	-	-	UP	-
4	CELSR1	214353_at	0.044	0.034	0.032	0.198	DN	DN	DN	-
4	DLEU2	215629_s_at	0.030	0.073	0.040	0.462	DN	-	DN	-
4	DEPDC2	220732_at	0.024	0.325	0.041	0.483	DN	-	DN	-
4	TFPI	214378_at	0.398	0.075	0.035	0.177	-	-	DN	-
4	PLCE1	205112_at	0.159	0.417	0.007	0.297	-	-	DN	-
4	MAOA	204388_s_at	0.311	0.079	0.014	0.414	-	-	DN	-

4	LAMA2	216840_s_at	0.260	0.386	0.050	0.069	-	-	DN	-
4	HFE	206087_x_at	0.483	0.259	0.046	0.255	-	-	DN	-
4	GABARAPL1	208869_s_at	0.332	0.328	0.039	0.400	-	-	DN	-
4	CD163	216233_at	0.106	0.240	0.011	0.153	-	-	DN	-
4	AK026847	216795_at	0.116	0.334	0.012	0.451	-	-	DN	-
4	LGMN	201212_at	0.000	0.003	0.111	0.457	UP	UP	-	-
4	GALNT7	218313_s_at	0.038	0.021	0.170	0.091	UP	UP	-	-
4	BC065205	208933_s_at	0.000	0.001	0.084	0.105	UP	UP	-	-
4	NFIB	213029_at	0.045	0.046	0.250	0.368	DN	UP	-	-
4	SIP	210691_s_at	0.196	0.015	0.246	0.138	-	UP	-	-
4	SHH	207586_at	0.092	0.019	0.444	0.308	-	UP	-	-
4	NUP54	218256_s_at	0.107	0.030	0.337	0.389	-	UP	-	-
4	LEF1	210948_s_at	0.289	0.022	0.250	0.159	-	UP	-	-
4	HCN4	206946_at	0.088	0.029	0.360	0.153	-	UP	-	-
4	DLEU2	216870_x_at	0.391	0.034	0.425	0.356	-	UP	-	-
4	C21ORF5	215219_at	0.209	0.022	0.328	0.319	-	UP	-	-
4	API5	214959_s_at	0.406	0.032	0.084	0.055	-	UP	-	-
4	AK022170	215786_at	0.383	0.015	0.062	0.440	-	UP	-	-
4	ADH1B	209612_s_at	0.256	0.021	0.346	0.425	-	UP	-	-
4	AB002330	212060_at	0.285	0.046	0.315	0.191	-	UP	-	-
4	EML1	204797_s_at	0.439	0.025	0.369	0.250	-	DN	-	-
4	BUCS1	215432_at	0.214	0.046	0.294	0.380	-	DN	-	-
4	TEAD1	214600_at	0.016	0.380	0.376	0.225	UP	-	-	-
4	PRKCH	218764_at	0.001	0.119	0.051	0.198	UP	-	-	-
4	MTSS1	203037_s_at	0.005	0.120	0.123	0.206	UP	-	-	-
4	MAGEH1	218573_at	0.001	0.060	0.084	0.286	UP	-	-	-
4	LAX	207734_at	0.003	0.463	0.320	0.221	UP	-	-	-
4	EIF1AX	201018_at	0.027	0.116	0.091	0.448	UP	-	-	-
4	C14ORF10	218852_at	0.001	0.150	0.298	0.140	UP	-	-	-
4	AF103574	217145_at	0.016	0.169	0.273	0.460	UP	-	-	-
4	USH1C	221173_at	0.013	0.181	0.130	0.372	DN	-	-	-
4	RSN	210716_s_at	0.006	0.354	0.076	0.188	DN	-	-	-
4	PPEF1	206547_s_at	0.014	0.091	0.250	0.477	DN	-	-	-
4	MID1	210694_s_at	0.043	0.131	0.315	0.286	DN	-	-	-
4	MGAM	206522_at	0.034	0.390	0.298	0.493	DN	-	-	-
4	KRTHA1	206677_at	0.030	0.190	0.282	0.179	DN	-	-	-
4	KLRA1	207229_at	0.026	0.428	0.171	0.465	DN	-	-	-
4	KCNG1	214595_at	0.025	0.092	0.483	0.308	DN	-	-	-
4	FMO5	215300_s_at	0.027	0.150	0.152	0.319	DN	-	-	-
4	FLJ14001	220194_at	0.030	0.468	0.459	0.206	DN	-	-	-
4	DEPDC1	220295_x_at	0.004	0.219	0.246	0.288	DN	-	-	-
4	DARS	201624_at	0.035	0.486	0.231	0.223	DN	-	-	-
4	APXL	204967_at	0.011	0.216	0.294	0.257	DN	-	-	-
4	AK024231	216160_at	0.001	0.477	0.091	0.279	DN	-	-	-
4	AI133721	222328_x_at	0.036	0.380	0.185	0.334	DN	-	-	-
4	ZNF339	206048_at	0.452	0.060	0.218	0.135	-	-	-	-
4	ZNF32	209538_at	0.462	0.105	0.070	0.119	-	-	-	-
4	ZNF312	221086_s_at	0.250	0.290	0.149	0.319	-	-	-	-
4	X61079	217063_x_at	0.086	0.188	0.464	0.445	-	-	-	-
4	WBP4	203598_s_at	0.466	0.214	0.130	0.393	-	-	-	-

4	UCP1	221384_at	0.481	0.283	0.432	0.233	-	-	-	-
4	UBQLN3	220422_at	0.055	0.371	0.346	0.369	-	-	-	-
4	UBBP2	217125_at	0.137	0.314	0.311	0.474	-	-	-	-
4	TRPC5	220552_at	0.324	0.354	0.087	0.138	-	-	-	-
4	TLE1	203222_s_at	0.455	0.127	0.324	0.389	-	-	-	-
4	TETTRAN	214685_at	0.350	0.486	0.416	0.474	-	-	-	-
4	SULF1	212344_at	0.304	0.342	0.498	0.081	-	-	-	-
4	STIP1	212009_s_at	0.148	0.101	0.454	0.303	-	-	-	-
4	SRR	218156_s_at	0.142	0.073	0.073	0.211	-	-	-	-
4	SQLE	213562_s_at	0.298	0.292	0.449	0.202	-	-	-	-
4	SQLE	209218_at	0.332	0.269	0.120	0.386	-	-	-	-
4	SMC1L1	217555_at	0.271	0.359	0.454	0.474	-	-	-	-
4	SMARCA5	213859_x_at	0.057	0.477	0.464	0.085	-	-	-	-
4	SLC2A1	201249_at	0.280	0.223	0.195	0.334	-	-	-	-
4	SLC25A13	203775_at	0.116	0.371	0.075	0.431	-	-	-	-
4	SLC1A7	210923_at	0.205	0.425	0.464	0.147	-	-	-	-
4	SKP2	210567_s_at	0.403	0.113	0.185	0.378	-	-	-	-
4	SFRS2	200753_x_at	0.499	0.211	0.246	0.179	-	-	-	-
4	SDBCAG84	215257_at	0.175	0.126	0.129	0.181	-	-	-	-
4	SCLY	59705_at	0.284	0.411	0.461	0.091	-	-	-	-
4	SCAMP1	212425_at	0.323	0.198	0.378	0.364	-	-	-	-
4	RUNX2	216994_s_at	0.403	0.489	0.444	0.148	-	-	-	-
4	RTCD1	215351_at	0.166	0.232	0.449	0.119	-	-	-	-
4	RSC1A1	214583_at	0.252	0.194	0.170	0.055	-	-	-	-
4	RRAGD	221524_s_at	0.414	0.295	0.161	0.252	-	-	-	-
4	RIPX	203724_s_at	0.354	0.386	0.135	0.477	-	-	-	-
4	RHOB	212099_at	0.444	0.443	0.454	0.250	-	-	-	-
4	RBPMS	209487_at	0.462	0.095	0.416	0.250	-	-	-	-
4	RBAF600	215636_at	0.342	0.334	0.277	0.120	-	-	-	-
4	RAD23B	214422_at	0.068	0.413	0.138	0.234	-	-	-	-
4	PTPRF	215066_at	0.371	0.055	0.311	0.137	-	-	-	-
4	PSMAL/GCP III	205860_x_at	0.337	0.249	0.174	0.340	-	-	-	-
4	PRR3	204795_at	0.228	0.159	0.392	0.340	-	-	-	-
4	PRKCI	209677_at	0.499	0.334	0.464	0.465	-	-	-	-
4	PPP2R2B	213849_s_at	0.421	0.064	0.432	0.265	-	-	-	-
4	POU3F1	208345_s_at	0.465	0.227	0.261	0.337	-	-	-	-
4	PMS2L9	217488_x_at	0.358	0.130	0.420	0.252	-	-	-	-
4	PLXDC1	214081_at	0.112	0.287	0.265	0.428	-	-	-	-
4	PLEKHE1	212719_at	0.307	0.471	0.307	0.221	-	-	-	-
4	PFKFB2	209992_at	0.053	0.143	0.488	0.075	-	-	-	-
4	PCYT1B	206751_s_at	0.108	0.057	0.353	0.118	-	-	-	-
4	PCNX	215175_at	0.171	0.351	0.179	0.173	-	-	-	-
4	PCDH11X	208366_at	0.426	0.407	0.364	0.288	-	-	-	-
4	OR2F1	208525_s_at	0.434	0.127	0.113	0.288	-	-	-	-
4	OR1E1	214515_at	0.426	0.251	0.401	0.159	-	-	-	-
4	OR1A2	221445_at	0.364	0.431	0.192	0.212	-	-	-	-
4	NOL7	210098_s_at	0.122	0.431	0.104	0.465	-	-	-	-
4	NM_025174	219846_at	0.342	0.073	0.182	0.311	-	-	-	-
4	NM_017973	220822_at	0.470	0.240	0.145	0.410	-	-	-	-
4	NM_013394	208240_s_at	0.493	0.254	0.397	0.206	-	-	-	-

4	NCR1	207860_at	0.462	0.419	0.286	0.097	-	-	-	-
4	MYO1B	212364_at	0.079	0.331	0.257	0.097	-	-	-	-
4	MOCS1	211673_s_at	0.446	0.070	0.111	0.071	-	-	-	-
4	MMP28	219909_at	0.242	0.314	0.185	0.311	-	-	-	-
4	MICAL2	206275_s_at	0.303	0.259	0.357	0.467	-	-	-	-
4	MASS1	215396_at	0.107	0.368	0.337	0.442	-	-	-	-
4	MAP3K7IP1	203901_at	0.291	0.431	0.406	0.452	-	-	-	-
4	MAGEB1	207534_at	0.470	0.368	0.369	0.364	-	-	-	-
4	LRP8	205282_at	0.468	0.434	0.118	0.243	-	-	-	-
4	LOC90806	217630_at	0.302	0.466	0.442	0.250	-	-	-	-
4	LOC284244	214162_at	0.140	0.440	0.238	0.303	-	-	-	-
4	LCMT2	204013_s_at	0.189	0.407	0.473	0.454	-	-	-	-
4	LAMC2	207517_at	0.053	0.455	0.307	0.056	-	-	-	-
4	L34163	211632_at	0.286	0.426	0.053	0.487	-	-	-	-
4	KRT6C	214580_x_at	0.309	0.404	0.333	0.408	-	-	-	-
4	KIF11	204444_at	0.107	0.401	0.158	0.445	-	-	-	-
4	KIAA0774	214961_at	0.391	0.298	0.485	0.252	-	-	-	-
4	KIAA0509	215480_at	0.148	0.404	0.444	0.092	-	-	-	-
4	IL8	211506_s_at	0.143	0.234	0.120	0.160	-	-	-	-
4	IL21	221271_at	0.354	0.101	0.284	0.424	-	-	-	-
4	IL20RA	219115_s_at	0.272	0.189	0.246	0.448	-	-	-	-
4	IL1A	210118_s_at	0.293	0.395	0.322	0.125	-	-	-	-
4	IGSF4B	217442_at	0.326	0.386	0.063	0.086	-	-	-	-
4	IAN4L1	215352_at	0.300	0.142	0.216	0.070	-	-	-	-
4	HSXIAPAF1	206133_at	0.387	0.455	0.282	0.092	-	-	-	-
4	HS3ST1	205466_s_at	0.092	0.362	0.401	0.069	-	-	-	-
4	HNRPD	221480_at	0.100	0.154	0.302	0.389	-	-	-	-
4	HNF4G	207456_at	0.266	0.259	0.267	0.405	-	-	-	-
4	HEPH	203903_s_at	0.122	0.389	0.449	0.175	-	-	-	-
4	HCRTR1	207619_at	0.434	0.142	0.107	0.442	-	-	-	-
4	HAVCR1	207052_at	0.318	0.093	0.065	0.332	-	-	-	-
4	H1FX	204805_s_at	0.434	0.416	0.464	0.483	-	-	-	-
4	GRM8	216992_s_at	0.260	0.117	0.324	0.354	-	-	-	-
4	GPR25	221363_x_at	0.073	0.118	0.148	0.064	-	-	-	-
4	GLP2R	221312_at	0.295	0.322	0.294	0.262	-	-	-	-
4	GABRG2	206849_at	0.371	0.465	0.294	0.403	-	-	-	-
4	FLJ21687	219965_s_at	0.074	0.413	0.220	0.196	-	-	-	-
4	FLJ20574	220958_at	0.465	0.093	0.378	0.281	-	-	-	-
4	FLJ20519	221222_s_at	0.137	0.149	0.257	0.204	-	-	-	-
4	FLJ20366	218692_at	0.246	0.183	0.182	0.364	-	-	-	-
4	FLJ14075	218591_s_at	0.133	0.201	0.227	0.462	-	-	-	-
4	FASN	212218_s_at	0.218	0.471	0.298	0.208	-	-	-	-
4	EYA4	207327_at	0.414	0.259	0.066	0.229	-	-	-	-
4	EVI5	208297_s_at	0.468	0.457	0.060	0.298	-	-	-	-
4	EMCN	219436_s_at	0.324	0.121	0.130	0.494	-	-	-	-
4	ELAVL2	208427_s_at	0.234	0.175	0.195	0.291	-	-	-	-
4	ELA2A	206447_at	0.376	0.082	0.164	0.491	-	-	-	-
4	DNAJD1	216947_at	0.055	0.237	0.234	0.431	-	-	-	-
4	DNAJB12	202865_at	0.217	0.310	0.500	0.471	-	-	-	-
4	DLX5	213707_s_at	0.196	0.301	0.170	0.341	-	-	-	-

4	DLG1	202516_s_at	0.180	0.138	0.374	0.096	-	-	-	-
4	DIXDC1	214724_at	0.194	0.220	0.369	0.200	-	-	-	-
4	DDX17	207264_at	0.460	0.279	0.089	0.375	-	-	-	-
4	CYP2C9	217558_at	0.378	0.428	0.425	0.486	-	-	-	-
4	CSHL1	208293_x_at	0.460	0.359	0.290	0.375	-	-	-	-
4	CSH1	202493_x_at	0.479	0.310	0.248	0.194	-	-	-	-
4	CRIP1	205081_at	0.298	0.223	0.057	0.428	-	-	-	-
4	COL4A6	210945_at	0.251	0.338	0.100	0.475	-	-	-	-
4	CGI-12	219363_s_at	0.271	0.290	0.478	0.276	-	-	-	-
4	CGI-115	219037_at	0.332	0.449	0.209	0.140	-	-	-	-
4	CENPF	209172_s_at	0.145	0.342	0.062	0.073	-	-	-	-
4	CELSR1	204539_s_at	0.442	0.474	0.062	0.494	-	-	-	-
4	CD226	207315_at	0.300	0.154	0.234	0.274	-	-	-	-
4	C3ORF14	219288_at	0.419	0.078	0.185	0.086	-	-	-	-
4	C2ORF23	204364_s_at	0.475	0.419	0.185	0.396	-	-	-	-
4	C22ORF20	220675_s_at	0.118	0.085	0.464	0.093	-	-	-	-
4	BUB1	209642_at	0.207	0.099	0.315	0.437	-	-	-	-
4	AW268081	217532_x_at	0.419	0.282	0.286	0.418	-	-	-	-
4	ATP2B1	212930_at	0.154	0.162	0.311	0.153	-	-	-	-
4	ARHGAP19	37577_at	0.310	0.246	0.090	0.427	-	-	-	-
4	AQP3	39248_at	0.203	0.356	0.383	0.319	-	-	-	-
4	AL356954	216826_at	0.222	0.389	0.271	0.175	-	-	-	-
4	AL353587	216814_at	0.254	0.342	0.078	0.345	-	-	-	-
4	AL110190	216642_at	0.267	0.348	0.360	0.131	-	-	-	-
4	AL022727	217334_at	0.200	0.396	0.290	0.269	-	-	-	-
4	AL022068	216581_at	0.167	0.480	0.100	0.486	-	-	-	-
4	AK026811	219880_at	0.252	0.175	0.454	0.486	-	-	-	-
4	AK026493	215845_x_at	0.403	0.300	0.454	0.445	-	-	-	-
4	AK024108	217164_at	0.155	0.374	0.192	0.122	-	-	-	-
4	AI393960	217662_x_at	0.246	0.380	0.053	0.494	-	-	-	-
4	AI151479	216261_at	0.188	0.251	0.165	0.252	-	-	-	-
4	AF203728	216369_at	0.125	0.292	0.320	0.271	-	-	-	-
4	AF159054	220752_at	0.135	0.331	0.167	0.281	-	-	-	-
4	ADAM7	211239_s_at	0.470	0.119	0.209	0.434	-	-	-	-
4	AC004862	216590_at	0.140	0.407	0.397	0.074	-	-	-	-
4	ABCG4	207593_at	0.364	0.117	0.430	0.173	-	-	-	-
4	AB028977	216086_at	0.321	0.237	0.128	0.177	-	-	-	-
5	ZNF161	202171_at	0.010	0.003	0.006	0.020	UP	UP	UP	UP
5	PRG1	201858_s_at	0.457	0.073	0.002	0.011	-	-	DN	UP
5	GATM	203178_at	0.335	0.477	0.008	0.024	-	-	DN	UP
5	APOBEC3C	209584_x_at	0.045	0.013	0.138	0.007	DN	DN	-	UP
5	ITPR2	202662_s_at	0.009	0.103	0.197	0.036	DN	-	-	UP
5	TNFAIP3	202644_s_at	0.455	0.188	0.089	0.028	-	-	-	UP
5	TK1	202338_at	0.085	0.056	0.111	0.046	-	-	-	UP
5	SOX4	213668_s_at	0.079	0.242	0.286	0.013	-	-	-	UP
5	SH3BGRL3	221269_s_at	0.491	0.465	0.053	0.004	-	-	-	UP
5	S100A13	202598_at	0.328	0.314	0.138	0.000	-	-	-	UP
5	NFYC	202216_x_at	0.295	0.061	0.167	0.024	-	-	-	UP
5	HTATIP2	209448_at	0.058	0.080	0.192	0.044	-	-	-	UP
5	CHRNA6	207568_at	0.465	0.078	0.411	0.038	-	-	-	UP

5	CGI-40	218765_at	0.192	0.428	0.290	0.005	-	-	-	UP
5	CGI-26	218102_at	0.373	0.136	0.065	0.038	-	-	-	UP
5	CEL	205910_s_at	0.382	0.463	0.168	0.029	-	-	-	UP
5	CD44	204489_s_at	0.106	0.292	0.298	0.002	-	-	-	UP
5	CD44	209835_x_at	0.196	0.461	0.444	0.003	-	-	-	UP
5	CD44	212063_at	0.455	0.425	0.468	0.001	-	-	-	UP
5	CD44	212014_x_at	0.207	0.401	0.364	0.002	-	-	-	UP
5	CCL3	205114_s_at	0.307	0.171	0.209	0.036	-	-	-	UP
5	C9ORF99	209513_s_at	0.181	0.345	0.449	0.015	-	-	-	UP
5	C18ORF25	217508_s_at	0.475	0.218	0.454	0.008	-	-	-	UP
5	GFPT1	202722_s_at	0.210	0.260	0.017	0.005	-	-	UP	DN
5	ICAM3	204949_at	0.040	0.004	0.010	0.003	DN	DN	DN	DN
5	BCL2A1	205681_at	0.082	0.001	0.001	0.001	-	DN	DN	DN
5	STK17A	202693_s_at	0.183	0.386	0.020	0.018	-	-	DN	DN
5	IL6ST	212195_at	0.376	0.368	0.013	0.022	-	-	DN	DN
5	AI537887	201060_x_at	0.203	0.468	0.001	0.037	-	-	DN	DN
5	VEGF	210512_s_at	0.411	0.015	0.080	0.012	-	DN	-	DN
5	TRIB3	218145_at	0.173	0.039	0.192	0.013	-	DN	-	DN
5	GGTL4	215603_x_at	0.101	0.040	0.206	0.005	-	DN	-	DN
5	ZNF217	203739_at	0.006	0.328	0.464	0.000	UP	-	-	DN
5	ZFP36L1	211962_s_at	0.002	0.428	0.108	0.009	UP	-	-	DN
5	SLC30A1	212907_at	0.009	0.362	0.397	0.017	UP	-	-	DN
5	ZNF84	204453_at	0.107	0.266	0.374	0.007	-	-	-	DN
5	ZFYVE16	203651_at	0.378	0.455	0.273	0.048	-	-	-	DN
5	ZCWCC1	203956_at	0.108	0.200	0.234	0.040	-	-	-	DN
5	TWSG1	219201_s_at	0.279	0.491	0.311	0.025	-	-	-	DN
5	PRKAB1	201834_at	0.293	0.342	0.133	0.038	-	-	-	DN
5	NR3C1	216321_s_at	0.465	0.486	0.411	0.005	-	-	-	DN
5	GGT1	209919_x_at	0.137	0.128	0.128	0.030	-	-	-	DN
5	CEACAM1	211889_x_at	0.486	0.150	0.091	0.037	-	-	-	DN
5	CCR7	206337_at	0.082	0.495	0.106	0.028	-	-	-	DN
5	C18ORF9	52285_f_at	0.234	0.143	0.311	0.012	-	-	-	DN
5	BCL2	203685_at	0.072	0.059	0.158	0.034	-	-	-	DN
5	BAMBI	203304_at	0.431	0.431	0.167	0.034	-	-	-	DN
5	AK056657	212799_at	0.411	0.407	0.435	0.025	-	-	-	DN
5	AB020633	212546_s_at	0.369	0.348	0.152	0.050	-	-	-	DN
5	CCNG2	211559_s_at	0.000	0.004	0.013	0.465	UP	UP	UP	-
5	SLC7A6	203578_s_at	0.332	0.013	0.002	0.311	-	UP	UP	-
5	NUP160	214962_s_at	0.062	0.033	0.003	0.085	-	UP	UP	-
5	CRSP3	218846_at	0.220	0.005	0.048	0.173	-	UP	UP	-
5	LGALS9	203236_s_at	0.025	0.093	0.013	0.179	UP	-	UP	-
5	CYFIP2	220999_s_at	0.045	0.455	0.015	0.194	DN	-	UP	-
5	ZNF273	215239_x_at	0.414	0.067	0.005	0.194	-	-	UP	-
5	TCFL4	213951_s_at	0.396	0.495	0.035	0.088	-	-	UP	-
5	TAX1BP3	209154_at	0.465	0.104	0.003	0.129	-	-	UP	-
5	RNPEP	208270_s_at	0.120	0.331	0.006	0.369	-	-	UP	-
5	RGS3	203823_at	0.092	0.495	0.023	0.397	-	-	UP	-
5	MART2	219687_at	0.364	0.147	0.013	0.129	-	-	UP	-
5	JAG1	209098_s_at	0.076	0.232	0.011	0.122	-	-	UP	-
5	HSU79266	205449_at	0.224	0.287	0.002	0.198	-	-	UP	-

5	HRAS	212983_at	0.314	0.320	0.044	0.060	-	-	UP	-
5	DDR1	207169_x_at	0.344	0.246	0.014	0.316	-	-	UP	-
5	DDR1	1007_s_at	0.442	0.086	0.006	0.116	-	-	UP	-
5	DDR1	208779_x_at	0.330	0.070	0.003	0.171	-	-	UP	-
5	CARF	218929_at	0.414	0.471	0.047	0.131	-	-	UP	-
5	AB023154	212611_at	0.222	0.065	0.017	0.126	-	-	UP	-
5	IVL	214599_at	0.153	0.042	0.025	0.308	-	DN	DN	-
5	IFI16	208966_x_at	0.291	0.015	0.032	0.155	-	DN	DN	-
5	AI201594	43511_s_at	0.163	0.030	0.003	0.138	-	DN	DN	-
5	LAPTM5	201721_s_at	0.018	0.311	0.008	0.321	UP	-	DN	-
5	SIL1	218436_at	0.005	0.287	0.029	0.221	DN	-	DN	-
5	KLK1	216699_s_at	0.035	0.149	0.036	0.096	DN	-	DN	-
5	CTNND1	208862_s_at	0.001	0.205	0.006	0.308	DN	-	DN	-
5	CASP1	209970_x_at	0.035	0.056	0.011	0.104	DN	-	DN	-
5	C5	205500_at	0.035	0.458	0.033	0.428	DN	-	DN	-
5	ZNF267	219540_at	0.291	0.465	0.013	0.186	-	-	DN	-
5	TNFAIP3	202643_s_at	0.419	0.119	0.047	0.066	-	-	DN	-
5	STOM	201061_s_at	0.151	0.110	0.000	0.184	-	-	DN	-
5	STAT3	208991_at	0.426	0.081	0.004	0.274	-	-	DN	-
5	SPATA7	219583_s_at	0.074	0.080	0.039	0.444	-	-	DN	-
5	SAMSN1	220330_s_at	0.279	0.089	0.017	0.171	-	-	DN	-
5	MAP4K4	206571_s_at	0.267	0.386	0.004	0.298	-	-	DN	-
5	M11167	AFFX-r2-Hs28SrRNA-M_at	0.118	0.471	0.019	0.491	-	-	DN	-
5	KIAA0643	204576_s_at	0.108	0.110	0.005	0.414	-	-	DN	-
5	CFLAR	209508_x_at	0.104	0.230	0.023	0.259	-	-	DN	-
5	CAMP	210244_at	0.353	0.335	0.017	0.081	-	-	DN	-
5	BTG1	200920_s_at	0.391	0.218	0.002	0.491	-	-	DN	-
5	PPP1R12A	201603_at	0.035	0.001	0.378	0.189	UP	UP	-	-
5	PLA1A	219584_at	0.015	0.020	0.125	0.164	UP	UP	-	-
5	NCF2	209949_at	0.004	0.027	0.488	0.062	UP	UP	-	-
5	LAPTM5	201720_s_at	0.001	0.040	0.483	0.160	UP	UP	-	-
5	CCNG2	202769_at	0.001	0.005	0.176	0.173	UP	UP	-	-
5	ATXN3	205415_s_at	0.034	0.003	0.053	0.088	UP	UP	-	-
5	ZC3HDC7	218348_s_at	0.205	0.044	0.093	0.246	-	UP	-	-
5	WSB1	201295_s_at	0.198	0.016	0.115	0.236	-	UP	-	-
5	UTX	203990_s_at	0.059	0.038	0.392	0.422	-	UP	-	-
5	SEC15L2	215417_at	0.162	0.016	0.052	0.186	-	UP	-	-
5	PHIP	212542_s_at	0.194	0.045	0.141	0.274	-	UP	-	-
5	CYLD	213295_at	0.226	0.038	0.284	0.182	-	UP	-	-
5	ATXN3	205416_s_at	0.208	0.008	0.108	0.064	-	UP	-	-
5	ARFGEF2	218098_at	0.132	0.008	0.123	0.089	-	UP	-	-
5	ABI1	209027_s_at	0.260	0.006	0.143	0.474	-	UP	-	-
5	GBP1	202269_x_at	0.005	0.041	0.167	0.215	DN	DN	-	-
5	SERPINE1	202627_s_at	0.314	0.023	0.250	0.353	-	DN	-	-
5	SERPINE1	202628_s_at	0.214	0.005	0.167	0.378	-	DN	-	-
5	SARS	200802_at	0.072	0.003	0.493	0.073	-	DN	-	-
5	ITGAM	205786_s_at	0.092	0.010	0.483	0.072	-	DN	-	-
5	ID2	201565_s_at	0.421	0.018	0.057	0.155	-	DN	-	-
5	HIST1H2AD	214472_at	0.307	0.043	0.078	0.400	-	DN	-	-

5	EHD1	222221_x_at	0.126	0.037	0.068	0.276	-	DN	-	-
5	EHD1	208112_x_at	0.203	0.039	0.104	0.100	-	DN	-	-
5	EGR1	201694_s_at	0.462	0.000	0.055	0.054	-	DN	-	-
5	DTNB	215565_at	0.382	0.047	0.290	0.410	-	DN	-	-
5	BC063432	211902_x_at	0.316	0.048	0.238	0.414	-	DN	-	-
5	AKAP2	202760_s_at	0.265	0.038	0.128	0.072	-	DN	-	-
5	TNFRSF6	204781_s_at	0.028	0.246	0.411	0.072	UP	-	-	-
5	STARD5	213820_s_at	0.019	0.431	0.051	0.188	UP	-	-	-
5	RASSF3	212870_at	0.019	0.380	0.227	0.267	UP	-	-	-
5	PLAC8	219014_at	0.030	0.065	0.342	0.271	UP	-	-	-
5	PDCD4	212593_s_at	0.039	0.194	0.449	0.132	UP	-	-	-
5	NFYC	202215_s_at	0.045	0.264	0.420	0.259	UP	-	-	-
5	NCF1	204961_s_at	0.006	0.131	0.265	0.072	UP	-	-	-
5	NAGK	218231_at	0.032	0.317	0.104	0.148	UP	-	-	-
5	MOSPD1	218853_s_at	0.020	0.269	0.246	0.400	UP	-	-	-
5	GRN	200678_x_at	0.046	0.339	0.493	0.078	UP	-	-	-
5	GPR56	212070_at	0.000	0.419	0.411	0.211	UP	-	-	-
5	GCH1	204224_s_at	0.006	0.434	0.411	0.198	UP	-	-	-
5	GAS7	211067_s_at	0.003	0.097	0.346	0.159	UP	-	-	-
5	DUSP14	203367_at	0.002	0.101	0.189	0.298	UP	-	-	-
5	CYP2F1	207913_at	0.018	0.349	0.360	0.186	UP	-	-	-
5	CDC42EP4	214721_x_at	0.035	0.158	0.440	0.243	UP	-	-	-
5	BX641020	212614_at	0.007	0.389	0.246	0.109	UP	-	-	-
5	APAF1	204859_s_at	0.014	0.471	0.128	0.206	UP	-	-	-
5	TCF12	208986_at	0.014	0.339	0.143	0.411	DN	-	-	-
5	SLC35D1	209711_at	0.001	0.183	0.337	0.105	DN	-	-	-
5	REV3L	208070_s_at	0.008	0.483	0.324	0.364	DN	-	-	-
5	PLXNB2	208890_s_at	0.032	0.434	0.498	0.078	DN	-	-	-
5	LRMP	35974_at	0.036	0.356	0.273	0.051	DN	-	-	-
5	IFRD1	202147_s_at	0.042	0.125	0.488	0.422	DN	-	-	-
5	EFTUD1	218973_at	0.012	0.207	0.383	0.243	DN	-	-	-
5	D50917	202657_s_at	0.030	0.128	0.123	0.468	DN	-	-	-
5	CTNND1	208407_s_at	0.027	0.145	0.123	0.164	DN	-	-	-
5	CCDC2	219174_at	0.030	0.226	0.174	0.223	DN	-	-	-
5	C18ORF1	209574_s_at	0.002	0.419	0.093	0.138	DN	-	-	-
5	ATP10D	213238_at	0.017	0.164	0.498	0.497	DN	-	-	-
5	ASTN2	209693_at	0.030	0.309	0.202	0.386	DN	-	-	-
5	ANXA4	201301_s_at	0.032	0.097	0.324	0.076	DN	-	-	-
5	AKAP9	210962_s_at	0.005	0.135	0.401	0.211	DN	-	-	-
5	ZNF79	214138_at	0.183	0.413	0.155	0.478	-	-	-	-
5	ZNF79	216486_x_at	0.468	0.146	0.073	0.385	-	-	-	-
5	ZNF184	213452_at	0.185	0.052	0.216	0.117	-	-	-	-
5	ZNF175	205497_at	0.263	0.398	0.213	0.473	-	-	-	-
5	XPC	209375_at	0.152	0.392	0.158	0.267	-	-	-	-
5	WBP4	203599_s_at	0.203	0.486	0.478	0.114	-	-	-	-
5	UGT2B17	207245_at	0.171	0.395	0.430	0.389	-	-	-	-
5	UFM1	218050_at	0.388	0.383	0.488	0.250	-	-	-	-
5	UBE1C	209115_at	0.087	0.468	0.246	0.483	-	-	-	-
5	TUSC2	203272_s_at	0.491	0.179	0.220	0.408	-	-	-	-
5	TUBB	204141_at	0.391	0.287	0.307	0.342	-	-	-	-

5	TRPV2	219282_s_at	0.496	0.351	0.324	0.090	-	-	-	-
5	TRIP6	209129_at	0.419	0.452	0.346	0.082	-	-	-	-
5	TPCN1	217914_at	0.175	0.082	0.298	0.148	-	-	-	-
5	TP53AP1	210241_s_at	0.074	0.471	0.392	0.293	-	-	-	-
5	TOB1	202704_at	0.344	0.339	0.378	0.276	-	-	-	-
5	TNN	215271_at	0.143	0.181	0.328	0.175	-	-	-	-
5	TNFRSF6	204780_s_at	0.330	0.225	0.065	0.291	-	-	-	-
5	TERF1	203448_s_at	0.403	0.285	0.488	0.375	-	-	-	-
5	TBC1D8	200962_at	0.079	0.107	0.488	0.225	-	-	-	-
5	STC2	203438_at	0.339	0.416	0.204	0.488	-	-	-	-
5	STAT1	AFFX-HUMISGF3A/M97935_MB_at	0.140	0.073	0.158	0.296	-	-	-	-
5	STAT1	200887_s_at	0.211	0.103	0.468	0.140	-	-	-	-
5	SOS2	211665_s_at	0.302	0.266	0.444	0.182	-	-	-	-
5	SMARCA2	212257_s_at	0.491	0.191	0.420	0.413	-	-	-	-
5	SLC30A3	207035_at	0.197	0.448	0.197	0.094	-	-	-	-
5	SDCCAG1	218649_x_at	0.381	0.196	0.189	0.221	-	-	-	-
5	SDCBP	200958_s_at	0.120	0.290	0.202	0.321	-	-	-	-
5	SCAP2	204362_at	0.447	0.309	0.488	0.050	-	-	-	-
5	SCAP2	216899_s_at	0.302	0.254	0.100	0.162	-	-	-	-
5	RNF14	201824_at	0.332	0.458	0.418	0.257	-	-	-	-
5	RIOK3	202131_s_at	0.499	0.359	0.383	0.434	-	-	-	-
5	RFK	203225_s_at	0.101	0.251	0.320	0.306	-	-	-	-
5	RC3	212820_at	0.179	0.492	0.324	0.486	-	-	-	-
5	RASSF4	49306_at	0.391	0.131	0.246	0.359	-	-	-	-
5	RAFTLIN	212646_at	0.499	0.179	0.290	0.113	-	-	-	-
5	PTPN22	208010_s_at	0.090	0.230	0.286	0.420	-	-	-	-
5	PRKAB1	201835_s_at	0.168	0.234	0.265	0.474	-	-	-	-
5	PPP1R15A	202014_at	0.291	0.218	0.342	0.211	-	-	-	-
5	POT1	204354_at	0.361	0.458	0.084	0.332	-	-	-	-
5	PLEKHF1	219566_at	0.366	0.425	0.250	0.462	-	-	-	-
5	PLD3	201050_at	0.292	0.345	0.464	0.288	-	-	-	-
5	PELI1	218319_at	0.168	0.419	0.158	0.248	-	-	-	-
5	PCAF	203845_at	0.309	0.422	0.115	0.271	-	-	-	-
5	OSBPL3	209626_s_at	0.057	0.179	0.085	0.066	-	-	-	-
5	NT5E	203939_at	0.250	0.076	0.158	0.431	-	-	-	-
5	NEK1	213331_s_at	0.133	0.192	0.411	0.129	-	-	-	-
5	NCOA3	207700_s_at	0.342	0.242	0.202	0.068	-	-	-	-
5	NCOA3	211352_s_at	0.242	0.355	0.206	0.372	-	-	-	-
5	MVP	202180_s_at	0.373	0.093	0.311	0.375	-	-	-	-
5	MSRB	218773_s_at	0.424	0.301	0.411	0.132	-	-	-	-
5	MRPS6	213164_at	0.323	0.368	0.106	0.113	-	-	-	-
5	MR1	207566_at	0.209	0.345	0.298	0.464	-	-	-	-
5	MPHOSPH9	206205_at	0.214	0.449	0.138	0.085	-	-	-	-
5	MMP7	204259_at	0.215	0.131	0.155	0.188	-	-	-	-
5	MDM2	211832_s_at	0.388	0.125	0.164	0.107	-	-	-	-
5	MAP1LC3B	208786_s_at	0.136	0.051	0.315	0.391	-	-	-	-
5	LIM	203242_s_at	0.286	0.362	0.189	0.138	-	-	-	-
5	LGALS3BP	200923_at	0.054	0.051	0.115	0.060	-	-	-	-

5	KRT17	205157_s_at	0.086	0.115	0.456	0.119	-	-	-	-
5	KIAA0893	203855_at	0.304	0.285	0.161	0.155	-	-	-	-
5	KIAA0052	215805_at	0.228	0.225	0.459	0.408	-	-	-	-
5	KCNN3	205902_at	0.107	0.091	0.331	0.147	-	-	-	-
5	KCNN3	205903_s_at	0.234	0.384	0.204	0.364	-	-	-	-
5	JWA	200761_s_at	0.099	0.167	0.435	0.314	-	-	-	-
5	ISGF3G	203882_at	0.076	0.177	0.364	0.486	-	-	-	-
5	IL1R2	211372_s_at	0.148	0.055	0.238	0.189	-	-	-	-
5	IFNG	210354_at	0.332	0.431	0.420	0.128	-	-	-	-
5	HMOX1	203665_at	0.364	0.104	0.164	0.157	-	-	-	-
5	HIST1H4A	208046_at	0.087	0.398	0.328	0.296	-	-	-	-
5	GRN	216041_x_at	0.055	0.440	0.282	0.150	-	-	-	-
5	GGT1	207131_x_at	0.347	0.392	0.328	0.122	-	-	-	-
5	GGT1	211417_x_at	0.203	0.404	0.411	0.372	-	-	-	-
5	GCC2	202832_at	0.304	0.425	0.376	0.293	-	-	-	-
5	FLJ21439	203513_at	0.267	0.392	0.425	0.068	-	-	-	-
5	FLJ13072	215356_at	0.499	0.222	0.456	0.180	-	-	-	-
5	FLJ10997	219239_s_at	0.393	0.105	0.464	0.337	-	-	-	-
5	FLJ10287	219130_at	0.335	0.263	0.082	0.356	-	-	-	-
5	FBN1	202766_s_at	0.311	0.165	0.493	0.081	-	-	-	-
5	F5	204714_s_at	0.462	0.285	0.290	0.168	-	-	-	-
5	F5	204713_s_at	0.151	0.256	0.146	0.448	-	-	-	-
5	F11R	221664_s_at	0.265	0.194	0.143	0.271	-	-	-	-
5	ETNK1	219017_at	0.265	0.498	0.437	0.311	-	-	-	-
5	ETHE1	204034_at	0.111	0.389	0.311	0.086	-	-	-	-
5	EPS8	202609_at	0.088	0.495	0.401	0.378	-	-	-	-
5	DUSP5	209457_at	0.076	0.455	0.498	0.414	-	-	-	-
5	DUSP4	204014_at	0.196	0.474	0.242	0.287	-	-	-	-
5	DUSP10	215501_s_at	0.401	0.152	0.369	0.457	-	-	-	-
5	DUSP10	221563_at	0.226	0.127	0.493	0.460	-	-	-	-
5	DPYSL2	200762_at	0.074	0.183	0.355	0.442	-	-	-	-
5	DNAJB2	202500_at	0.149	0.290	0.257	0.252	-	-	-	-
5	DDR1	210749_x_at	0.369	0.156	0.055	0.153	-	-	-	-
5	DBT	205369_x_at	0.210	0.152	0.360	0.112	-	-	-	-
5	CYP4F3	206514_s_at	0.449	0.322	0.440	0.468	-	-	-	-
5	CTNND1	211240_x_at	0.080	0.242	0.351	0.166	-	-	-	-
5	CTF1	206813_at	0.377	0.076	0.459	0.109	-	-	-	-
5	CSNK1G1	221673_s_at	0.409	0.384	0.425	0.104	-	-	-	-
5	CG018	217197_x_at	0.439	0.202	0.397	0.369	-	-	-	-
5	CFLAR	214486_x_at	0.275	0.101	0.488	0.215	-	-	-	-
5	CFLAR	211317_s_at	0.295	0.303	0.483	0.208	-	-	-	-
5	CFLAR	208485_x_at	0.248	0.244	0.216	0.162	-	-	-	-
5	CFLAR	211316_x_at	0.171	0.086	0.108	0.296	-	-	-	-
5	CCL22	207861_at	0.321	0.477	0.202	0.454	-	-	-	-
5	CCL20	205476_at	0.081	0.123	0.464	0.201	-	-	-	-
5	CASK	211208_s_at	0.342	0.194	0.234	0.359	-	-	-	-
5	CAPG	201850_at	0.289	0.495	0.378	0.150	-	-	-	-
5	BSCL2	208906_at	0.146	0.055	0.425	0.341	-	-	-	-
5	BC063432	209670_at	0.228	0.156	0.369	0.119	-	-	-	-
5	BC063432	209671_x_at	0.212	0.120	0.307	0.058	-	-	-	-

5	BC063432	210972_x_at	0.307	0.175	0.202	0.089	-	-	-	-
5	BC059410	213532_at	0.339	0.175	0.265	0.372	-	-	-	-
5	AV704232	215128_at	0.054	0.173	0.449	0.129	-	-	-	-
5	ATM	212672_at	0.192	0.259	0.387	0.437	-	-	-	-
5	ASCC1	219336_s_at	0.159	0.180	0.320	0.468	-	-	-	-
5	ARHE	212724_at	0.298	0.167	0.337	0.072	-	-	-	-
5	ANXA4	201302_at	0.075	0.123	0.401	0.391	-	-	-	-
5	AK056657	212800_at	0.218	0.446	0.254	0.296	-	-	-	-
5	ADAM10	214895_s_at	0.278	0.138	0.161	0.119	-	-	-	-
5	AD-017	218147_s_at	0.230	0.216	0.342	0.486	-	-	-	-
5	ACTA2	200974_at	0.440	0.332	0.225	0.110	-	-	-	-
5	AB033066	213387_at	0.355	0.196	0.401	0.314	-	-	-	-
5	AB018337	212840_at	0.393	0.365	0.199	0.152	-	-	-	-
6	GDF15	221577_x_at	0.159	0.237	0.346	0.483	-	-	-	-

Supplemental Table 4. Analysis of the association between individual TEC1 genes and outcome in pediatric ALL after adjusting for risk group classification and treatment study protocol (n=465). Genes whose association with outcome remained significant after correction for multiple testing are highlighted in bold. Adjusted *P*-values were calculated using the step-down Bonferroni method of Holm.

Gene (Probe ID)	EFS via univariate Cox regression model			CRR via univariate Fine & Gray's model		
	Hazard Ratios	95% CI	<i>P</i> -value (adjusted <i>P</i> -values)	Hazard Ratios	95% CI	<i>P</i> -value (adjusted <i>P</i> -values)
ASTN2 (215407_s_at)	0.907	0.8-1.1	0.1976 (1.0000)	0.901	0.7-1.1	0.2728 (1.0000)
CDKN1A (202284_s_at)	0.960	0.9-1.1	0.4832 (1.0000)	0.926	0.8-1.1	0.2935 (1.0000)
CSTA (204971_at)	1.174	1.0-1.3	0.0161 (0.2570)	1.187	1.0-1.4	0.0379 (0.5304)
DDB2 (203409_at)	0.876	0.7-1.2	0.3867 (1.0000)	0.822	0.6-1.2	0.2916 (1.0000)
ENC1 (201340_s_at)	0.891	0.8-1.0	0.0954 (1.0000)	0.819	0.7-1.0	0.0179 (0.2858)
FUCA1 (202838_at)	1.040	0.8-1.3	0.7063 (1.0000)	0.992	0.8-1.3	0.9500 (1.0000)
GADD45A (203725_at)	1.157	1.0-1.4	0.1434 (1.0000)	1.107	0.9-1.4	0.4151 (1.0000)
ID2 (213931_at)	1.091	0.9-1.3	0.2495 (1.0000)	1.071	0.9-1.3	0.4730 (1.0000)
JAG1 (216268_s_at)	0.924	0.8-1.1	0.2508 (1.0000)	0.916	0.8-1.1	0.3024 (1.0000)
MDM2 (217373_x_at)	0.829	0.7-1.0	0.0315 (0.4406)	0.810	0.7-1.0	0.0518 (0.6732)
MGC5370 (217542_at)	0.837	0.7-1.0	0.0246 (0.3685)	0.811	0.7-1.0	0.0319 (0.4782)
MR1 (207565_s_at)	0.881	0.7-1.1	0.3088 (1.0000)	0.814	0.6-1.1	0.1600 (1.0000)
PPM1D (204566_at)	0.722	0.4-1.2	0.1792 (1.0000)	0.590	0.3-1.1	0.0775 (0.9299)
SAT (203455_s_at)	1.143	0.9-1.4	0.2261 (1.0000)	1.047	0.8-1.4	0.7466 (1.0000)
TP53I3 (210609_s_at)	1.453	1.2-1.8	0.0009 (0.0148)	1.609	1.2-2.1	0.0012 (0.0204)
TRIM22 (213293_s_at)	1.077	0.8-1.5	0.6552 (1.0000)	1.280	0.8-1.9	0.2381 (1.0000)
WIG1 (219628_at)	1.114	0.9-1.4	0.3507 (1.0000)	1.116	0.8-1.5	0.4490 (1.0000)

Supplemental Table 5. Outcome analysis for pediatric ALL patients treated on COG 1961 grouped by TEC1 gene expression patterns. Supervised hierarchical clustering was used to group the 59 patients with outcome data by TEC1 gene expression patterns. Association between patient groups and outcome was assessed using a Cochran-Armitage test for trend (CCR: complete continuous remission for at least four years; Relapse: marrow relapse within first three years after diagnosis).

	<u>CCR</u>	<u>Relapse</u>	<u>Total</u>	<u>P-value</u>
<u>Patient Groups</u>				
Group 1	17	13	30	0.10
Group 2	7	14	21	
Group 3	4	4	8	
Total	28	31	59	

Supplemental Table 6. Examining TEC1 genes for association with patient outcome using univariate analysis. Results of a logistic regression model testing the association of each TEC1 gene with risk of relapse, as described.¹ The six genes associated with outcome at $P < 0.10$ are highlighted in bold. Among these six genes, four (*MGC5370*, *WIG1*, *CSTA*, and *GADD45A*) were associated with EFS in the 465 patient ALL cohort at the same P -value threshold and with the same direction of association (**Supplemental Table 4**).

Data source: <http://www.ncbi.nlm.nih.gov/geo/query/acc.cgi?acc=GSE7440>.

Gene (Probe ID)	Hazard Ratios	95% CI	P-value
DDB2 (203409_at)	2.631	1.26-5.49	0.0099
MGC5370 (217542_at)	0.125	0.02-0.65	0.0137
WIG1 (219628_at)	2.113	1.15-3.89	0.0161
TRIM22 (213293_s_at)	2.198	1.08-4.50	0.0310
CSTA (204971_at)	1.364	1.00-1.86	0.0510
GADD45A (203725_at)	1.463	0.97-2.21	0.0690
SAT (203455_s_at)	0.485	0.18-1.31	0.1521
PPM1D (204566_at)	0.674	0.38-1.20	0.1822
TP53I3 (210609_s_at)	1.521	0.62-3.76	0.3642
ID2 (213931_at)	1.127	0.80-1.58	0.4876
MR1 (207565_s_at)	1.278	0.49-3.32	0.6139
CDKN1A (202284_s_at)	0.884	0.51-1.53	0.6600
JAG1 (216268_s_at)	1.074	0.78-1.49	0.6682
FUCA1 (202838_at)	0.921	0.57-1.50	0.7402
MDM2 (217373_x_at)	1.141	0.27-4.87	0.8589

C. References

1. Bhojwani D, Kang H, Menezes RX, et al. Gene expression signatures predictive of early response and outcome in high-risk childhood acute lymphoblastic leukemia: A Children's Oncology Group Study [corrected]. *J Clin Oncol.* 2008;26:4376-4384.